

# Chapitre 6 – Les Matériaux Composites

Lire Ashby & Jones, Vol. 2, Chapitres 28 & 29

Dans Callister le Chapitres 16.

**Un bonne référence disponible en ligne à l'EPFL**, pour celles/ceux qui voudraient approfondir: Chawla, Krishan K., *Composite materials: Science and engineering, third edition*Springer Verlag, 2012

https://link.springer.com/book/10.1007/978-0-387-74365-3

Aussi, ce livre (malheureusement non disponible en ligne mais présent en version papier à la Bibliothèque) donne une très bonne introduction au sujet dans ses chapitres 6 à 8):

G. Weidmann, P. Lewis & N. Reid Eds., Materials in Action series - Structural Materials, Butterworths, London, 1990



# Chapitre 6 – Les Matériaux Composites

Un matériau composite, ou en termes usuels, un composite est un matériau créé en combinant deux matériaux différents, à échelle suffisamment fine pour qu'on puisse parler d'un matériau, ou en d'autres mots pour que le résultat soit traité comme tel en conception. (notez que la définition d'un composite varie quelque peu d'un auteur à un autre).

Les composites sont produits et utilisés depuis longtemps...

Le plus souvent un composite comporte deux phases:

- un *renfort* (reinforcement or reinforcing phase), prenant la forme d'éléments généralement convexes isolés, tels des fibres, des particules, des plaques,
- une *matrice* (matrix) qui englobe le renfort pour créer un matériau continu.



Figure 7.3 Linen-plaster composite (cartonnage) mummy case

Source: G. Weidmann, P. Lewis & N. Reid Eds., Materials in Action series - Structural Materials, Butterworths, London, 1990

#### **EPFL**

I – Les fibres

Reprenons les deux dernières diapositives du chapitre précédent:

Pour de très fortes déformations, les cristaux de polyéthylène peuvent se réaligner voire se désagréger, pour former des structures très résistantes selon certaines directions

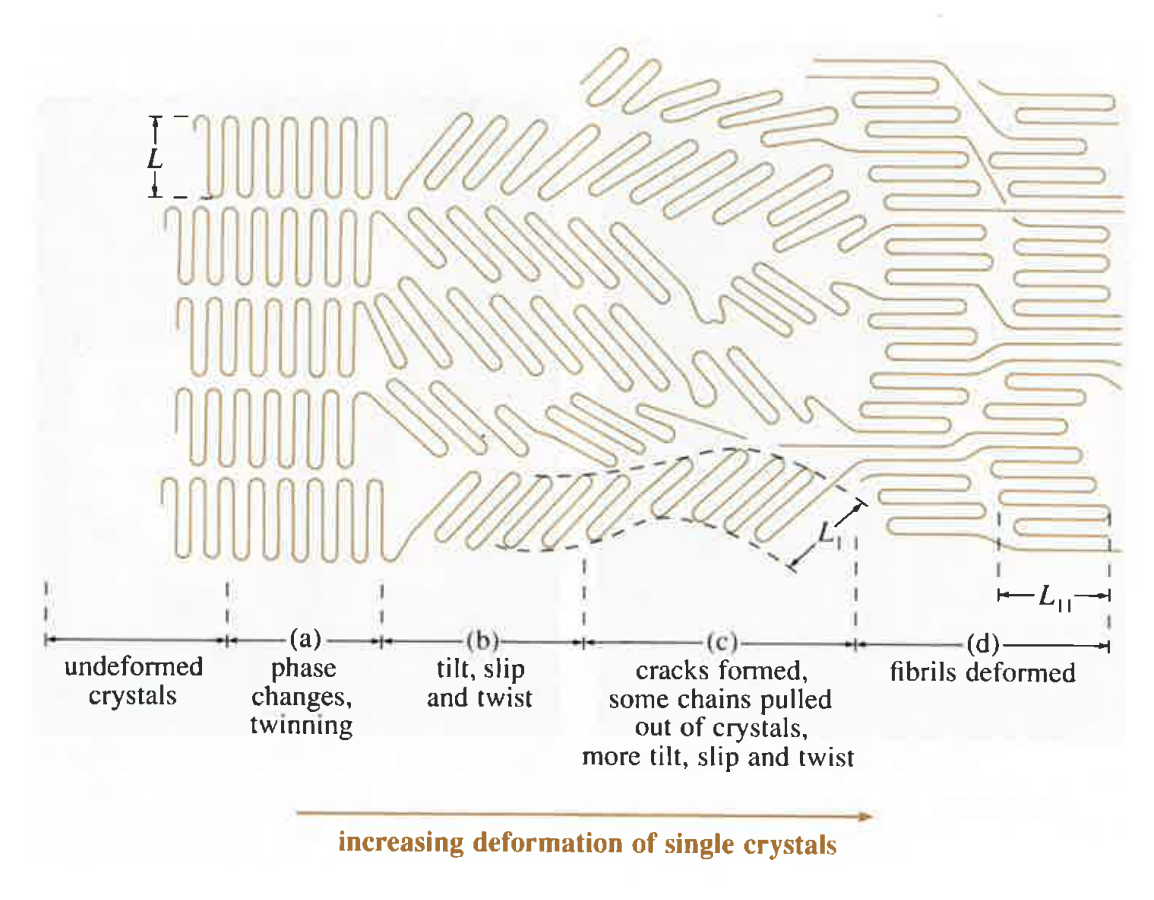


Figure 5.39 Deformation processes during cold drawing

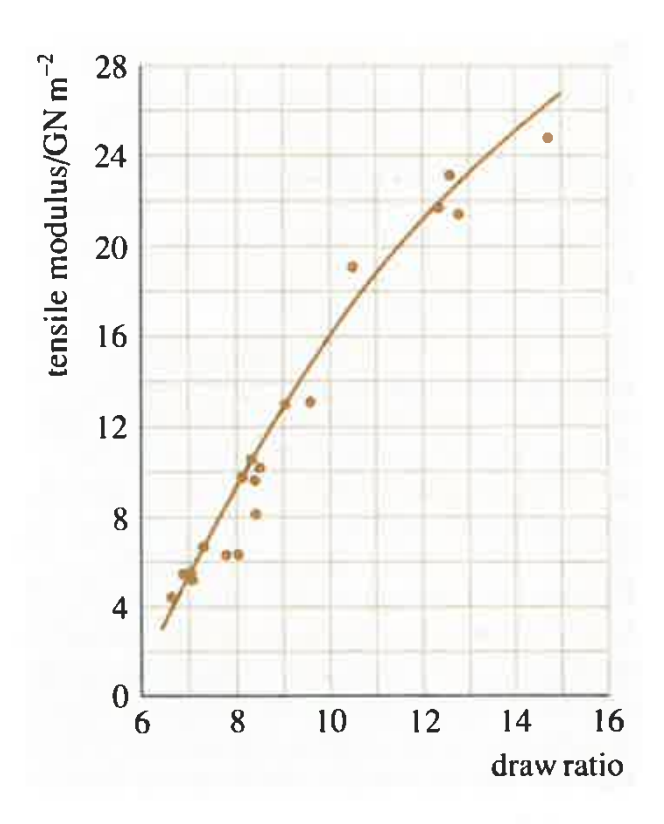


Figure 5.41 The tensile modulus of drawn monofilaments of high-density polyethylene plotted against draw ratio

Source: G. Weidmann, P. Lewis & N. Reid Eds., Materials in Action series - Structural Materials, Butterworths, London, 1990

#### **EPFL**

L'alignement de macromolécules est en particulier utilisé pour produire des fibres polymères, allant des nombreuses fibres textiles aux fibres polymère à haute performance.

Exemple: les fibres polyéthylène à masse moléculaire ultra haute (UHMWPE), cristallisés à presque 100%, produits par alignement des molécules pendant qu'elles sont à l'état de gel, et ayant des propriétés remarquables – mais (seulement) en traction selon la direction d'alignement des molécules.

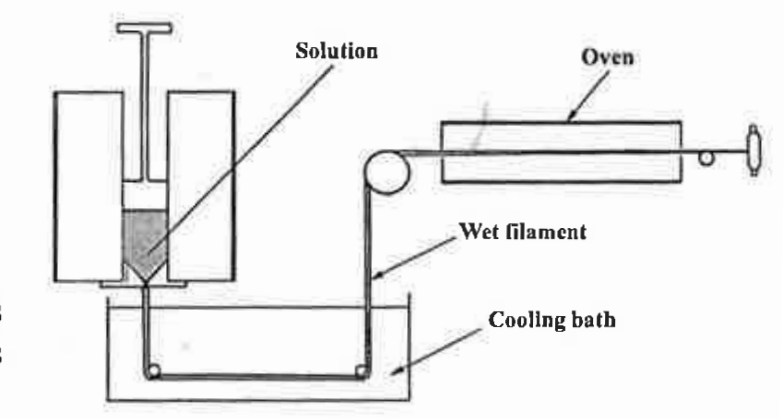


Fig. 2.27. Gel spinning process used to make high-modulus polyethylene fiber.

Table 2.5. Properties of polyethylene fibers\*

Property	Spectra 900	Spectra 1000	
Density (g cm <sup>-3</sup> )	0.97	0.97	
Diameter (µm)	38	27	
Tensile Strength (GPa)	2.7	3.0	
Tensile modulus (GPa)	119	175	
Tensile strain to fracture (%)	3.5	2.7	

<sup>\*</sup> Manufacturer's data; indicative values.

Source: K.K. Chawla, Composite Materials, 2<sup>nd</sup> Ed., Springer, 1998.

#### **EPFL** Les fibres de carbone

Bien d'autres matériaux peuvent être produits sous forme de fibres à haute performance mécanique selon l'axe de la fibre. On a déjà vu le verre, le polyéthylène et l'acier perlitique; il y a aussi le carbone graphitique si on le produit pour aligner les plans covalents selon l'axe de la fibre.

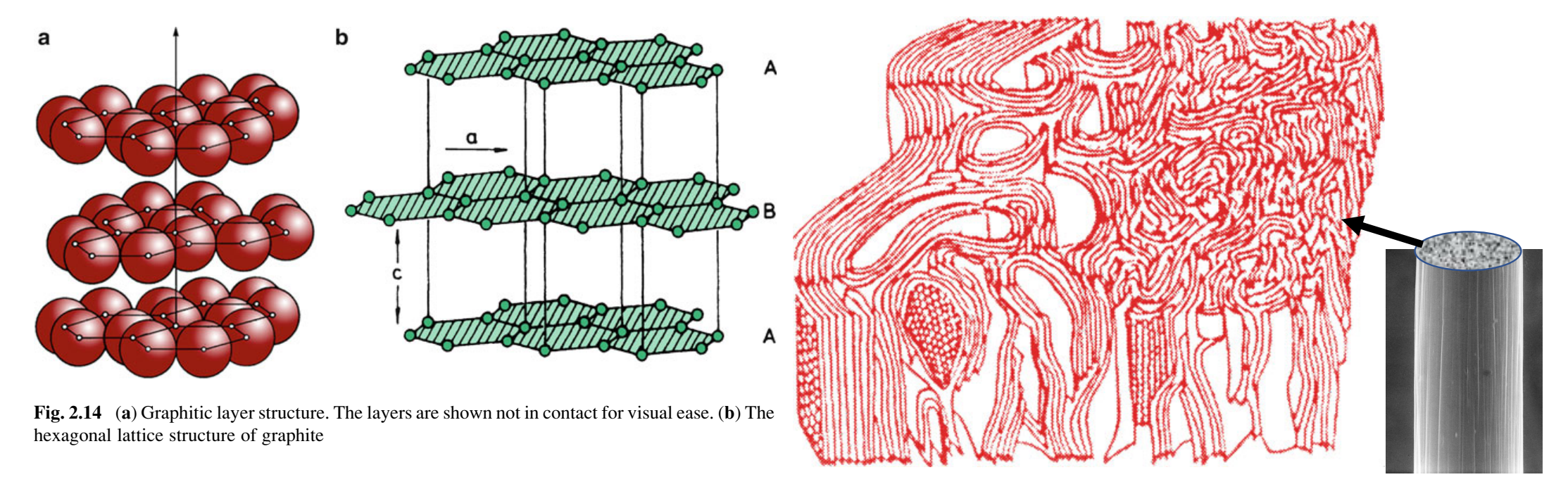


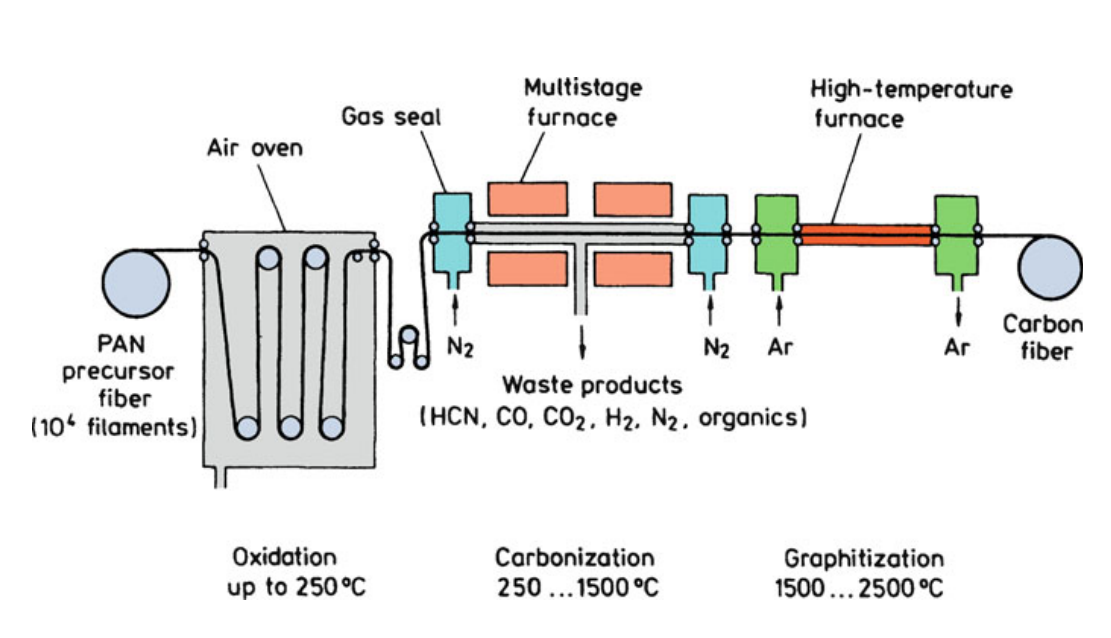
Fig. 2.22 Three-dimensional representation of PAN-based carbon fiber [from Bennett and Johnson (1978), used with permission]

Source: Chawla, Krishan K., Chapitre 6 – Les composites 6

Composite materials: Science and engineering, third edition, Springer Verlag, 2012

#### **EPFL** Les fibres de carbone

Il existe divers procédés pour les produire; un des principaux consiste à partir de fibres d'un polymère, le polyacrilonitrile (PAN); notez les températures élevées de la pyrolyse.



Young's modulus

Strength

Strength

Output

Strength

Strength

Output

Strength

Output

Strength

Output

O

**Fig. 2.15** Schematic of PAN-based carbon fiber production [reprinted with permission from Baker (1983)]

**Fig. 2.17** Strength and elastic modulus of carbon fiber as a function of final heat treatment temperature [after Watt (1970), used with permission]

Source: Chawla, Krishan K., *Composite materials: Science and engineering, third edition* Springer Verlag, 2012

#### **EPFL** Les fibres de carbone

Les propriétés (et le prix) varient aussi fortement avec le processus de fabrication

**Table 2.4** Comparison of properties of different carbon fibers

			Electrical
Precursor	Density (g/cm <sup>3</sup> )	Young's modulus (GPa)	resistivity $(10^{-4} \Omega \text{ cm})$
Rayon <sup>a</sup>	1.66	390	10
Polyacrylonitrile <sup>b</sup> (PAN)	1.74	230	18
Pitch (Kureha)			
$LT^{c}$	1.6	41	100
$HT^d$	1.6	41	50
Mesophase pitch <sup>e</sup> *			
LT	2.1	340	9
HT	2.2	690	1.8
Single-crystal <sup>f</sup> graphite	2.25	1,000	0.40

<sup>&</sup>lt;sup>a</sup>Union Carbide, Thornel 50

Source: Adapted with permission from Singer (1979)

Source: Chawla, Krishan K., *Composite materials: Science and engineering, third edition* Springer Verlag, 2012

<sup>&</sup>lt;sup>b</sup>Union Carbide, Thornel 300

<sup>&</sup>lt;sup>c</sup>LT low-temperature heat-treated

<sup>&</sup>lt;sup>d</sup>HT high-temperature heat-treated

<sup>&</sup>lt;sup>e</sup>Union Carbide type P fibers

<sup>&</sup>lt;sup>f</sup>Modulus and resistivity are in-plane values

<sup>\*</sup> pitch en anglais se dit brai en français https://fr.wikipedia.org/wiki/Brai

# **EPFL** Les fibres à haute performance

On peut aussi produire des fibres d'autres polymères ou de céramique; la gamme est large

Table 28.1 Properties of Some Fibers and Matrices						
Material	Density $\rho$ (Mg m <sup>-3</sup> )	Modulus <i>E</i> (GN m <sup>-2</sup> )	Strength $\sigma_f$ (MN m <sup>-2</sup> )			
Fibers						
Carbon, Type 1	1.95	390	2200			
Carbon, Type 2	1.75	250	2700			
Cellulose fibers	1.61	60	1200			
Glass (E-glass)	2.56	76	1400-2500			
Kevlar	1.45	125	2760			
Matrices						
Epoxies	1.2-1.4	2.1-5.5	40-85			
Polyesters	1.1-1.4	1.3-4.5	45—85			

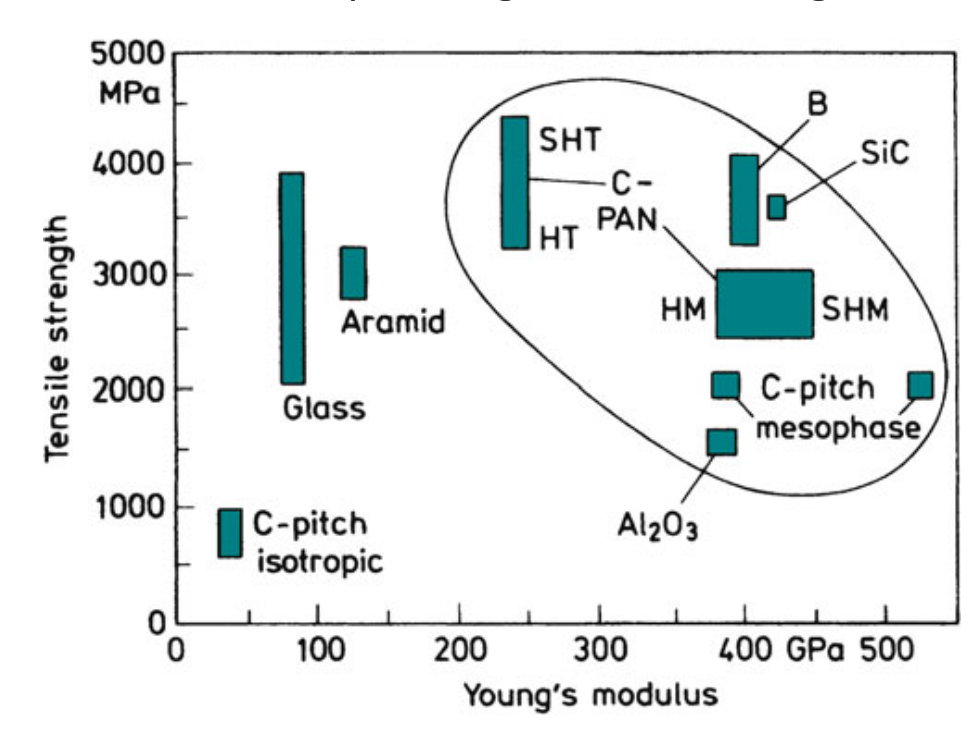


Fig. 2.47 Comparison of different fibers

Source: M.F. Ashby & D.R.H. Jones, Engineering Materials Vol. 2, 4<sup>th</sup> Ed., 2006, Elsevier Butterworth.

Source: Chawla, Krishan K., *Composite materials: Science and engineering, third edition* Springer Verlag, 2012

### **EPFL** Les fibres naturelles

Aux fibres synthétiques on peut ajouter les fibres naturelles, issues du monde végétal, à base de cellulose (coton, lin, chanvre, ..), ou du monde animal, à base de protéines (soie, laine, ..), que l'on utilise aussi sous forme de textile ou

de corde

Table 6.1 Tensile properties of single textile fibres

Material	Density/ kg m <sup>-3</sup>	Tensile modulus (bulk)/GN m <sup>-2</sup>	Tensile modulus (fibre)/GN m <sup>-2</sup>	Strength (bulk)/ MN m <sup>-2</sup>	Strength (fibre)/ MN m <sup>-2</sup>
natural					
polymer fibres					
cotton	1520	.00	6–10	-	300-800
silk	1340	~	8–13	-	300-650
wool	1300	-	3–4	-	100-200
synthetic polymer fibres					
nylon 6,6	1140	2	1-5	80	400-750
PET	1380	3	12–19	54	600-800
PP	910	1.5	6.4	33	600
metallic wire					
steel (piano wire)	7860	210	210	460	3000



Figure 6.3 Cocoons of the cultivated silk moth *bombyx mori* 

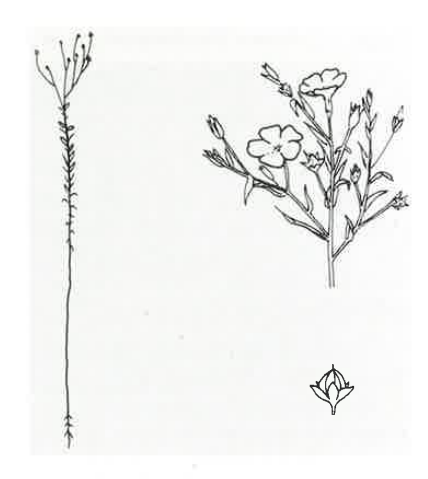


Figure 6.4 Flax plant carrying ripened seeds; head of flax in bloom; a seed capsule

Source: G. Weidmann, P. Lewis & N. Reid Eds., Materials in Action series - Structural Materials, Butterworths, London, 1990

#### **EPFL**

#### Un panorama de fibres parmi les plus usuelles

Table 7.3 Typical properties of reinforcing fibres

	Density $\rho/{\rm Mgm^{-3}}$	Young's modulus E/GN m <sup>-2</sup>	Tensile strength $\sigma_{TS}/\text{GN m}^{-2}$	Linear expansion coefficient $\alpha/10^{-6}\mathrm{K}^{-1}$	Typical diameter/μm	Melting or softening point/K	Relative price/kg <sup>-1</sup>
E-glass C-glass S-glass A-glass	2.55 2.49 2.49 2.50	72 69 87 68	3.4 2.8 4.6 2.4	5.1 7.2 2.7 16.2	10-20	$ \begin{cases} 1110 \\ 1030 \\ 1220 \\ 970 \end{cases} $	1 5-10 5-12 1.5
aramid ( <i>Kevlar 49</i> )	1.44	124	3.1	-4(  )	12	770	10
UHMPE (Spectra)	0.97	120	2.6	59(⊥) —	38	420	30
carbon UHM HM UHS HS	1.96 1.85 1.75 1.76	780 480 270 265	$ \begin{array}{c} 2.3 \\ 2.0 \\ 5.2 \\ 2.8 \end{array} $	-2(∥) 17(⊥)	8	3920	20–100
zirconia (Saffil)	5.6 2.8	100 100	0.7 1.0	_	3	2770 2270	25
alumina (Saffil) boron asbestos (chrysotile) silicon carbide	2.6 2.5 2.5	380 160 410	3.8 2.1 4.0	<u>30</u>	100–200 0.02 140	2570 1790	450 0.1
steel piano wire	7.9	210	3.0	15	(up to 5 mm)	1670	2

Chapitre 6 – Les composites 11

Source: G. Weidmann, P. Lewis & N. Reid Eds., Materials in Action series - Structural Materials, Butterworths, London, 1990



II – Les matériaux composites renforcés

### **EPFL** Les renforts et les matrices

Comme vu, les **fibres** à haute performance constituent un renfort évident, mais il y en a bien d'autres: les fibres naturelles (comme la paille combinée à l'argile pour construire des maisons), l'acier qui renforce le béton précontraint, ou des particules céramiques ajoutées pour durcir un polymère, voire des *charges* (filler) ajoutées, par exemple au ciment ou à des matériaux polymériques, pour diminuer le prix du matériau final.

Les **matrices** des matériaux composites peuvent être des trois classes que nous avons vues à ce jour: polymériques, métalliques ou céramique.

Par masse ou volume, le béton et a fortiori le béton précontraint étant un composite, les céramiques dominent.

Pour les composites à haute performance ce sont les polymères qui dominent, car ils sont légers et bien plus faciles à mettre en œuvre que les métaux ou les céramiques lors de l'élaboration de composites au sein desquels on veut préserver les propriétés de fibres à haute performance.

# Le module des matériaux composites: cas du composite lamellaire

Dans chaque phase, de fraction volumique  $V_i$ , on a  $\sigma_i = E_i \varepsilon_i$ Ignorons les contraintes latérales (présentes si  $v_1 \neq v_2$ )

#### Selon la direction A

- les déformations sont identiques dans chacune des phases:  $\varepsilon_c = \varepsilon_1 = \sigma_1 / E_1 = \varepsilon_2 = \sigma_1 / E_1$
- $\sigma_c = V_1 \sigma_1 + V_2 \sigma_2$

... et donc

$$E_{\rm c} = V_1 E_1 + V_2 E_2$$

#### Selon la direction B

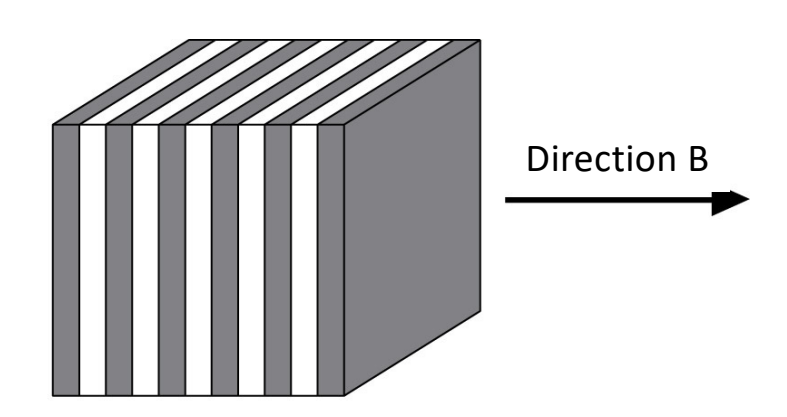
les contraintes sont identiques dans chacune des phases:

$$\sigma_{c} = \sigma_{1} = E_{1} \varepsilon_{1} = \sigma_{2} = E_{2} \varepsilon_{2}$$

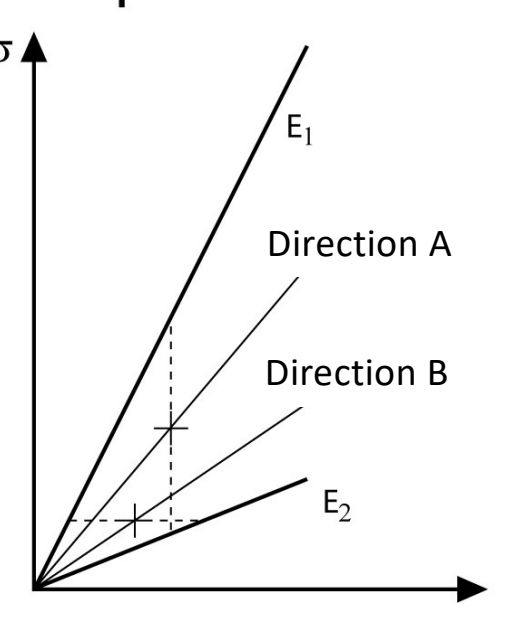
•  $\varepsilon_{\rm c} = V_1 \varepsilon_1 + V_2 \varepsilon_2$ 

... et donc

$$\frac{1}{E_c} = \frac{V_1}{E_1} + \frac{V_2}{E_2}$$







### **EPFL** Le module des matériaux composites: Les composites à fibres longues parallèles

Il est démontré que ces deux expressions sont respectivement une borne supérieure (upper bound, dite de Voigt) et inférieure (lower bound, dite de Reuss) du module de tous les composites biphasés élastiques linéaires.

La borne supérieure, s'applique bien aux composites à fibres longues sollicitées parallèlement aux fibres, car il est réaliste là aussi d'écrire (si on néglige

l'influence des différences de contraction latérale de Poisson):

$$\varepsilon_{\rm c} = \varepsilon_{\rm f} = \varepsilon_{\rm m}$$
 et donc, quelle que soit le mode déformation  $\sigma_{\rm c} = V_{\rm f}\sigma_{\rm f} + V_{\rm m}\sigma_{\rm m} = V_{\rm f}\sigma_{\rm f}(\varepsilon_{\rm c}) + V_{\rm m}\sigma_{\rm m}(\varepsilon_{\rm c})$  avec  $V_{\rm m} = 1 - V_{\rm f}$ 

faisant qu'en déformation élastique linéaire  $E_c = V_f E_f + V_m E_m$  où f = fibre, m = matrice.

On appelle cela la *loi des mélanges* (rule of mixtures), laquelle s'applique aussi à quelques autres propriétés (*e.g.*, la densité, la capacité calorifique).

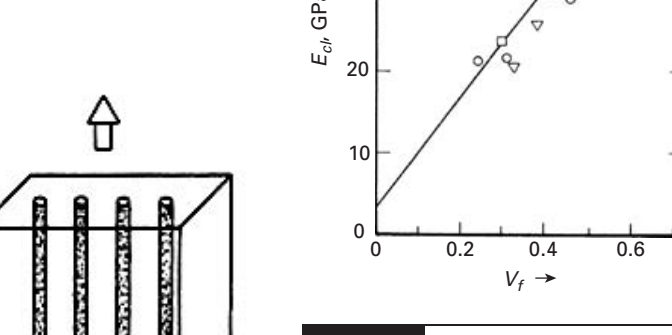


Fig. 15.6 An example of a linear increase in the longitudinal modulus of the composite,  $E_{cl}$ , as a function of the volume fraction of fiber for a glass fiber-reinforced epoxy. (After R. D. Adams and D. G. C. Bacon, J. Comp. Mater., 7 (1973) 53.)

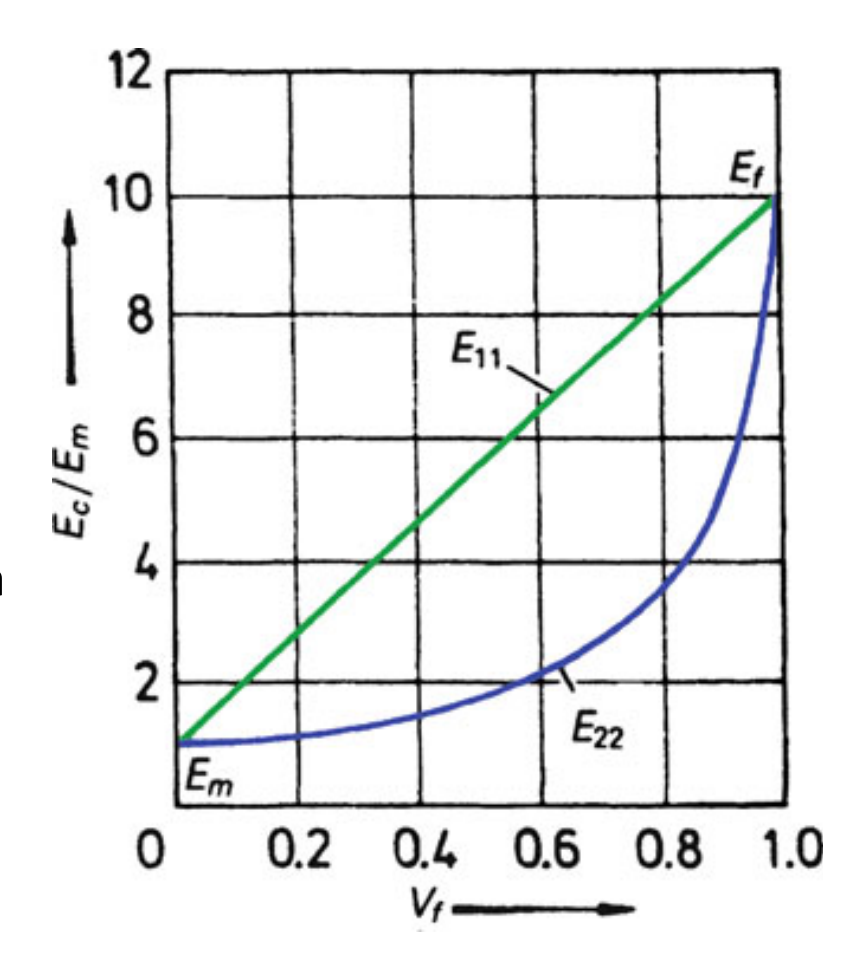
Source: M.A. Meyers and K.K. Chawla, Mechanical Behavior of Materials 2<sup>nd</sup> Ed., Cambridge University Press, 2009

# **EPFL** Le module des matériaux composites: Les composites à fibres longues parallèles

Selon les autre directions, le problème est plus complexe.

La borne inférieure, dite de Reuss (loi des mélanges isocontrainte = equistress rule of mixtures) donne généralement une sous-estimation du module. Le module d'un composite à fibres parallèles perpendiculairement aux fibres sera donc quelque part entre ces deux bornes, en général plus près de la borne inférieure.

Notez que ces bornes sont fortement espacées si les deux phases sont de module nettement différent, ce qui est souvent le cas puisque les polymères on des modules faibles.



Source: Chawla, Krishan K., *Composite materials: Science and engineering, third edition* Springer Verlag, 2012

# **EPFL** Le module des matériaux composites: Les composites à fibres longues

Un composite à fibres longues est donc souvent fortement anisotrope. En général un matériau anisotrope peut avoir un grand nombre (≤21) de constantes d'élasticité – mais leur nombre est diminué s'il y a des symmétries dans la structure du matériau. Un exemple fréquent est le matériau à isotropie transverse

**Table 10.2** Elastic constants of a transversely isotropic composite in terms of component constants (matrix isotropic, fiber anisotropic)

Longitudinal modulus	$E_{11} = E_{\rm f1}V_{\rm f} + E_{\rm m}V_{\rm m}$
Transverse modulus	$E_{22} = E_{33} = \frac{E_{\rm m}}{1 - \sqrt{V_{\rm f}}(1 - E_{\rm m}/E_{\rm f2})}$
Shear modulus	$G_{12} = G_{13} = \frac{G_{\rm m}}{1 - \sqrt{V_{\rm f}}(1 - G_{\rm m}/G_{\rm f12})}$
Shear modulus	$G_{23} = \frac{G_{ m m}}{1 - \sqrt{V_{ m f}}(1 - G_{ m m}/G_{ m f23})}$
Poisson's ratio	$v_{12} = v_{13} = v_{f12}V_f + v_mV_m$
Poisson's ratio	$v_{23} = \frac{E_{22}}{2G_{23}} - 1$
Source: Adapted with permission from Chamis (1983)	

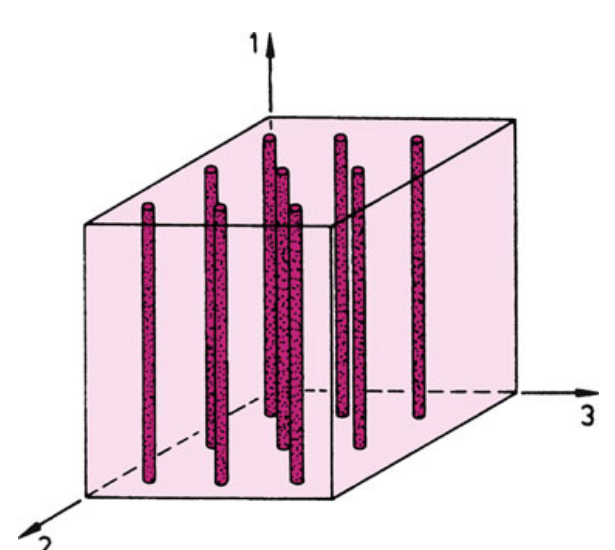
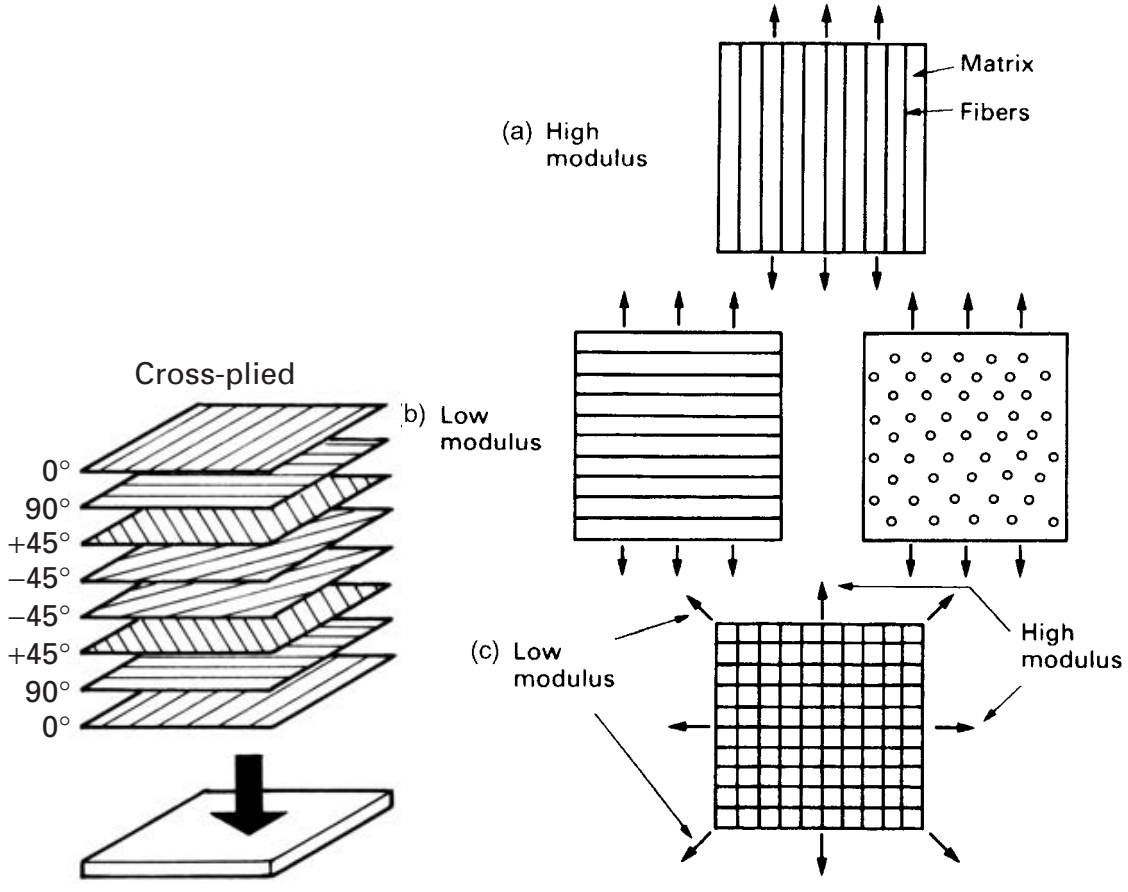


Fig. 10.4 A transversely isotropic fiber composite: plane transverse to fibers (2–3 plane) is isotropic

Source: Chawla, Krishan K., *Composite materials: Science and engineering, third edition* Springer Verlag, 2012

### **EPFL** Le module des matériaux composites: Les composites à fibres longues

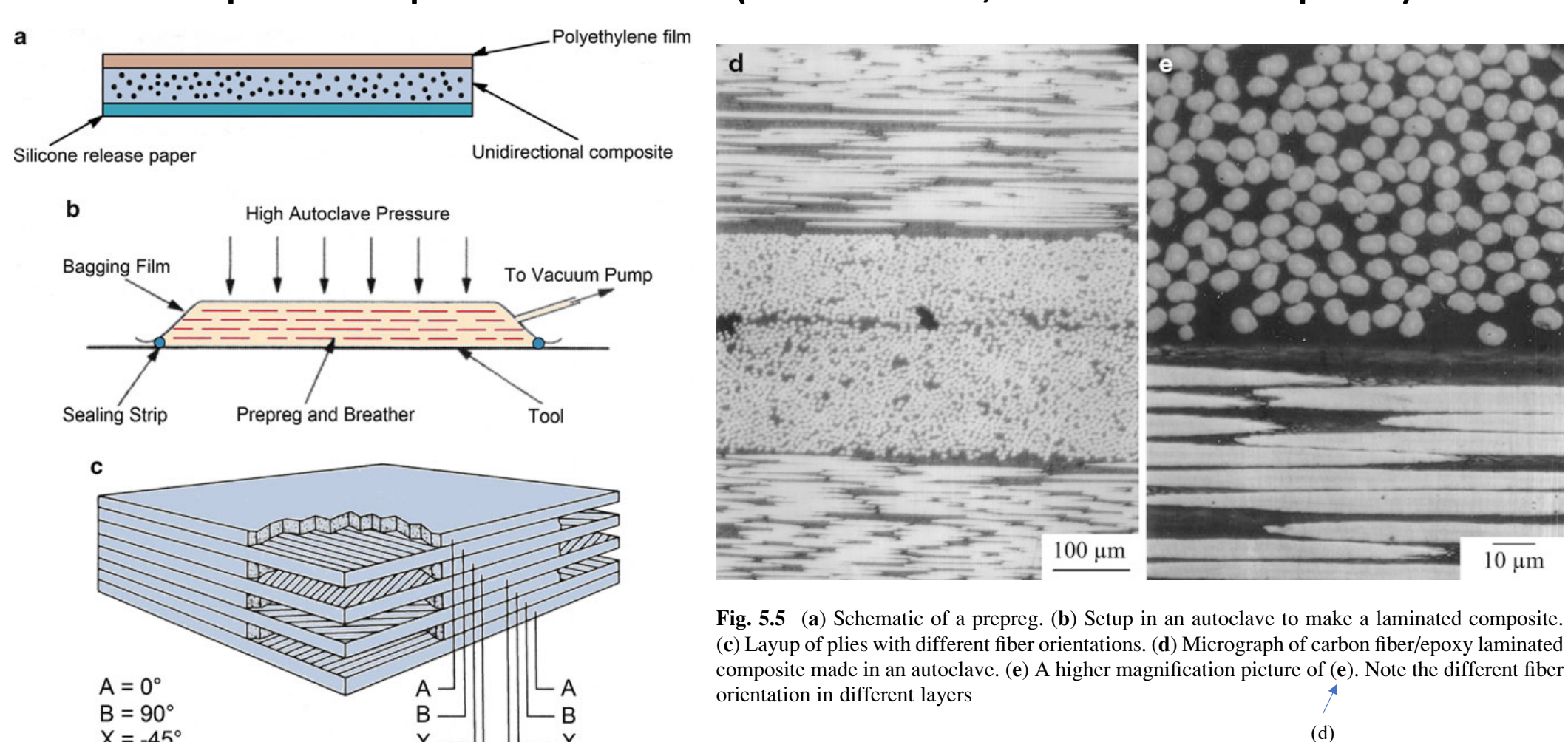
Sous sollicitation selon une direction qui n'est pas un axe de symmétrie et si la matrice est complaisante, les fibres peuvent aussi changer leur orientation pour accommoder la déformation. On y remédie en produisant des composites laminés (laminated composites) contenant des couches où les fibres assument un nombre suffisant d'orientations. comme  $0 - 45 - 90 - 135^{\circ}$ (voir figure ci-contre).



Sources: M.A. Meyers and K.K. Chawla, Mechanical Behavior **FIGURE 28.1** of Materials 2<sup>nd</sup> Ed., Cambridge University Press, 2009, M.F. (a) When loaded Ashby & D.R.H. Jones, Engineering Materials Vol. 2, 4<sup>th</sup> Ed., equal strains. (b) stress. (c) 0–90 instrance.

(a) When loaded along the fiber direction the fibers and matrix of a continuous fiber composite suffer equal strains. (b) When loaded across the fiber direction, the fibers and matrix see roughly equal stress. (c)  $0-90^{\circ}$  laminate has high and low modulus directions;  $0-45-90-135^{\circ}$  laminate is nearly isotropic.

#### **EPFL** Exemple de composite multilaminé (multilaminate, or laminated composite)



 $X = -45^{\circ}$  $Y = +45^{\circ}$ 

Chapitre 6 – Les composites 19

Source: Chawla, Krishan K., Composite materials: Science and engineering, third edition Springer Verlag, 2012

10 µm

# **EPFL** Le module des matériaux composites: Les composites à fibres longues

Si les fibres ne sont pas toutes parallèles, en première approche simplifiée on peut procèder par simple correction de la loi des mélanges via l'introduction d'un facteur d'efficacité B (efficiency factor) devant le terme décrivant la contribution des fibres:

$$E_{\rm c} = BV_{\rm f}E_{\rm f} + V_{\rm m}E_{\rm m}$$

avec

B = 1 pour des fibres toutes alignées selon la contrainte

B = 1/2 pour des fibres moitié à 0° de la contrainte, moitié à 90°

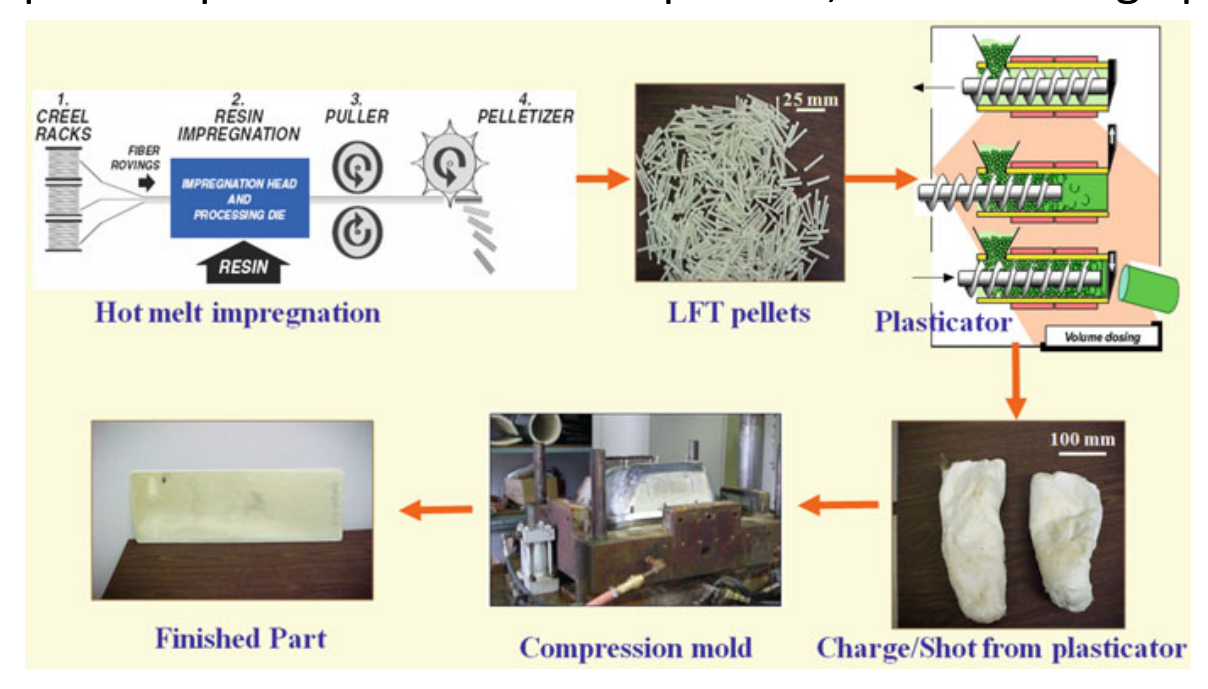
B = 3/8 pour des fibres aléatoirement orientées dans un plan contenant la contrainte

B = 1/5 pour des fibres aléatoirement orientées en 3D.

Ceci est bien sûr approximatif.

### **EPFL** Le module des matériaux composites: Les composites à fibres courtes

Souvent les fibres sont courtes car cela permet de produire des pièces de forme complexe par des procédés comme l'aspersion, ou le moulage par injection ou compression



**Fig. 5.9** Extrusion/compression molding process for making long fiber reinforced thermoplastic (LFT) composites. Hot melt impregnation of fibers is used to produce tapes, rods or long pellets of LFT. Pelletized LFT material is fed into an extruder or plasticator. Plasticized LFT charge is compression molded to different product forms

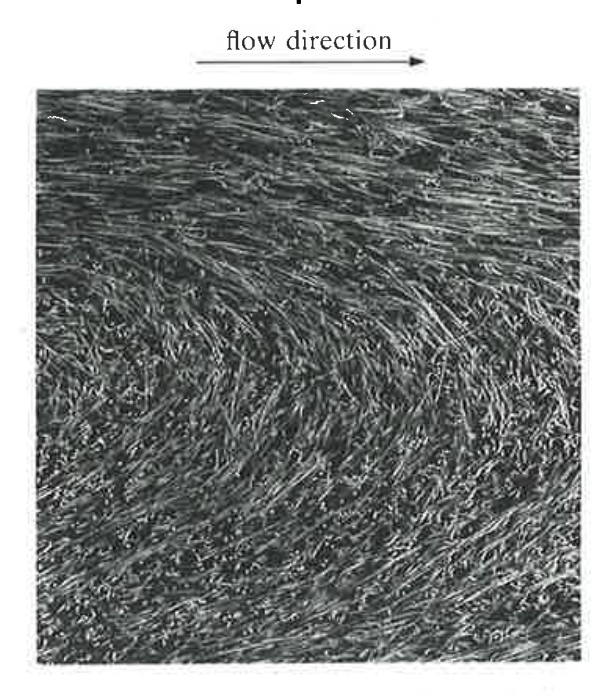


Figure 7.45 Contact microradiograph of a section through the thickness of an injection moulding containing 22% by volume of 13 µm diameter glass fibres

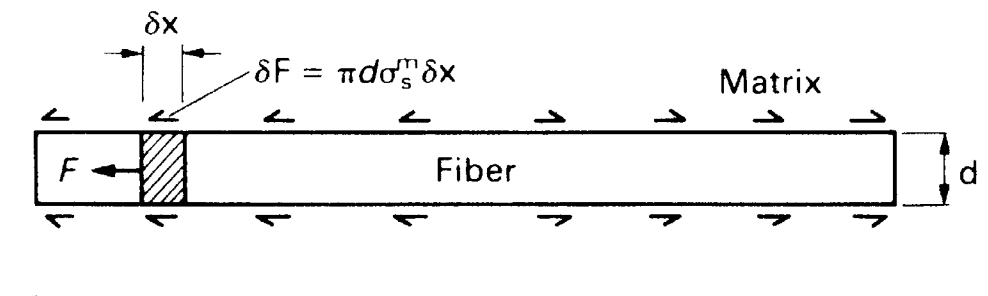
Sources: G. Weidmann, P. Lewis & N. Reid Eds., Materials in Action series - Structural Materials, Butterworths, London, 1990, Chawla, Krishan K., *Composite materials: Science and engineering, third edition* Springer Verlag, 2012

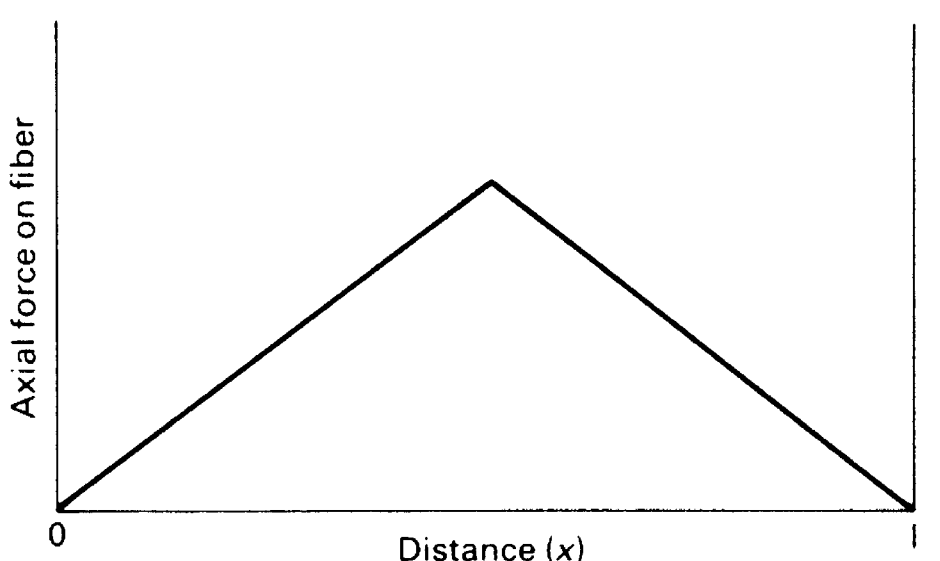
#### **EPFL** Le module des matériaux composites: Les composites à fibres courtes

Avec des fibres courtes, même pour une sollicitation uniaxiale du composite parallèlement à des fibres parallèles, on ne peut plus supposer que fibre et matrice sont également allongés:

$$\mathcal{E}_c \neq \overline{\mathcal{E}_f} \neq \overline{\mathcal{E}_m}$$
.

Une analyse approximative du problème part du principe que la matrice transfère sa contrainte à la fibre par simple cisaillement à l'interface. Supposons que la contrainte de cisaillement à l'interface  $\tau_i$  soit constante le long de toute la fibre (c'est une simplification de la réalité).





#### **FIGURE 28.4**

Load transfer from matrix to fiber causes the tensile stress in the fiber to rise to a peak in the middle. If the peak exceeds the fracture strength of the fiber, it breaks.

Chapitre 6 – Les composites 22 Source: M.F. Ashby & D.R.H. Jones, Engineering Materials Vol. 2, 4<sup>th</sup> Ed., 2006, Elsevier Butterworth.

### **EPFL** Le module des matériaux composites: Les composites à fibres courtes

On a dès lors:  $A d\sigma_f = P \tau_i dx$ 

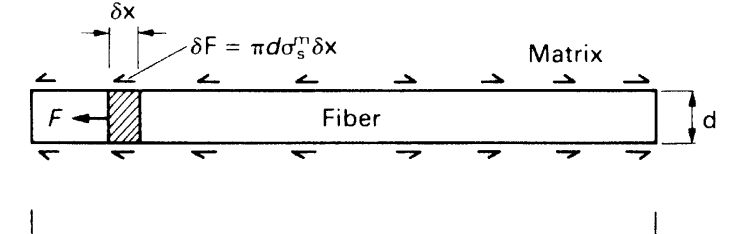
où A et P sont respectivement l'aire et le périmètre de la section transverse de la fibre, de longueur L.

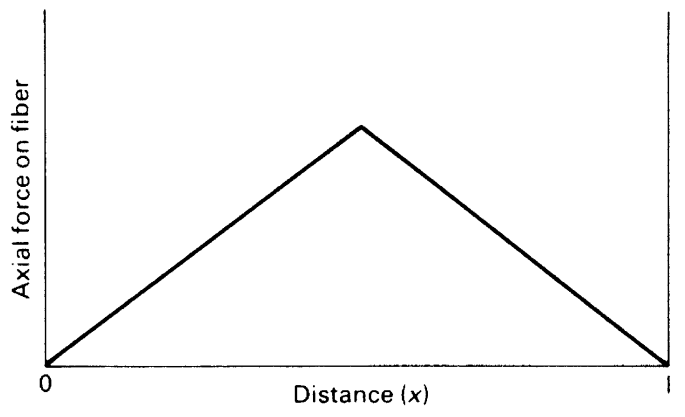
P/A = 2/R pour une fibre cylindrique de section circulaire et de rayon R.

Si pour simplifier on prend  $\tau_i$  constant et  $\sigma_f$  = 0 au bout de la fibre, on a

$$\sigma_{f, \text{max}} = (P/A) (L/2) \tau_i$$
 et

$$\overline{\sigma_f}$$
 = (1/2)  $\sigma_{f, \text{max}}$ 





#### **FIGURE 28.4**

Load transfer from matrix to fiber causes the tensile stress in the fiber to rise to a peak in the middle. If the peak exceeds the fracture strength of the fiber, it breaks.

tant que  $\sigma_{f, \text{max}} \leq E_f \, \varepsilon_m$ où  $\varepsilon_m$  est l'allongement élastique de la matrice  $(\sigma_m/E_m)$  près de la fibre – car au-delà la fibre devient plus allongée que la matrice.

Chapitre 6 – Les composites 23 Source: M.F. Ashby & D.R.H. Jones, Engineering Materials Vol. 2, 4<sup>th</sup> Ed., 2006, Elsevier Butterworth.

### **EPFL** Le module des matériaux composites: Les composites à fibres courtes

Si par contre L est tel que  $E_f \, \varepsilon_m < (P/A) \, (L/2) \, \tau_i$ 

alors sur la partie centrale de la fibre la contrainte atteint un plateau  $\sigma_{\rm f,\ max}$  =  $E_{\rm f}$   $\varepsilon_{\rm m}$  ,

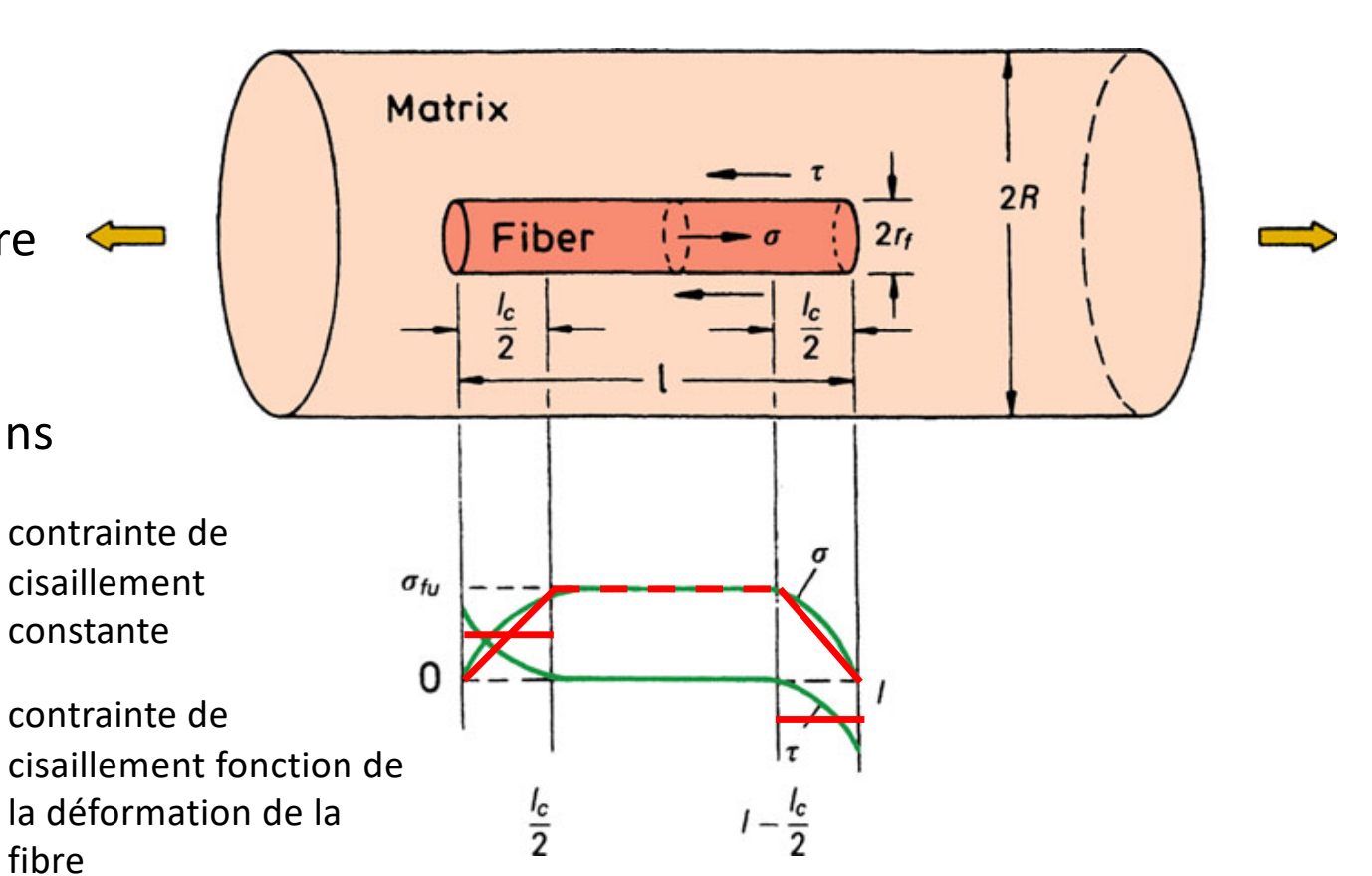
et on a une contrainte moyenne dans

la fibre égale à:

$$\overline{\sigma_f} = E_f \, \varepsilon_m \, [1 - \lambda/L]$$

où:

$$\lambda = (A/P) (E_f/\tau_i) \varepsilon_m$$
  
=  $(R/2) (E_f/\tau_i) \varepsilon_m$  pour une fibre circulaire



**Fig. 10.15** Load transfer in a fiber/matrix composite and variation of tensile stress ( $\sigma_f$ ) in the fiber and interfacial shear stress ( $\tau$ ) with distance along the interface

Chapitre 6 – Les composites 24 Source: Chawla, Krishan K., Composite materials: Science and engineering, third ed. Springer Verlag, 2012

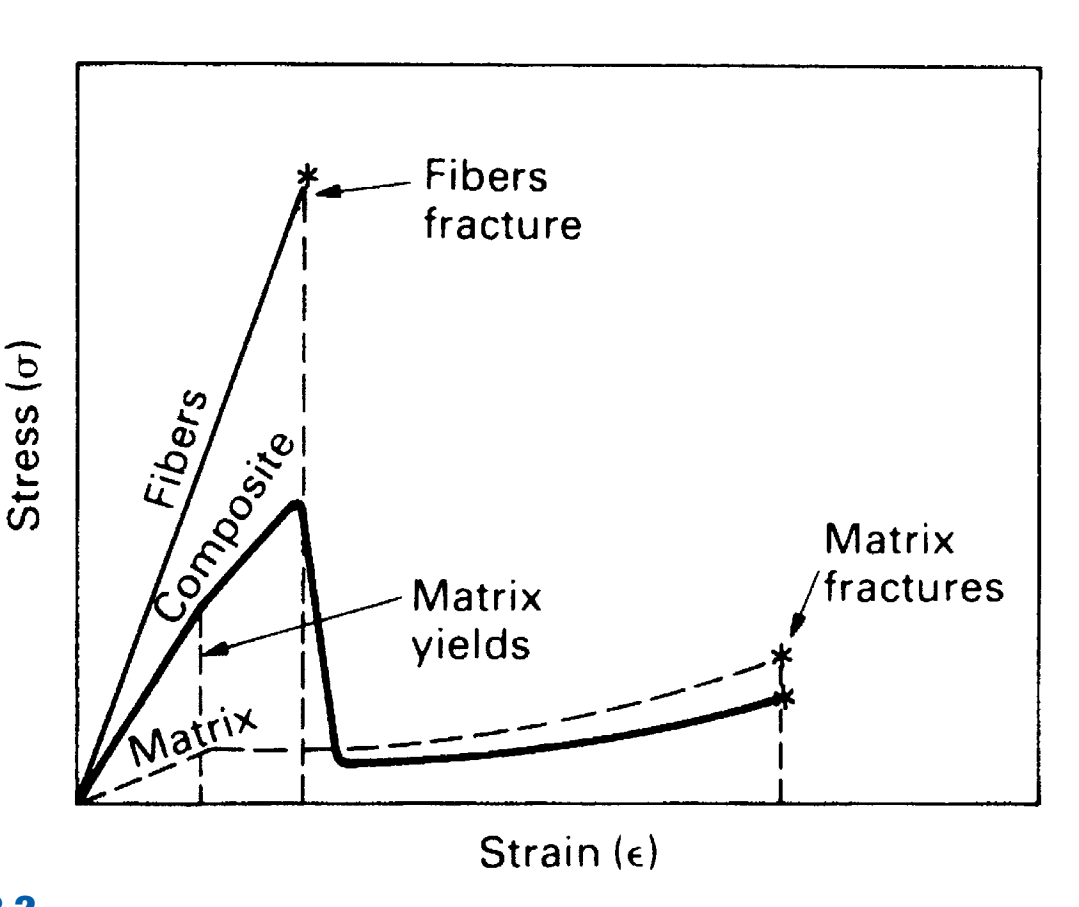
Pour un composite à fibres longues et parallèles sollicité selon les fibres, on peut écrire  $\sigma_{\rm c} = V_{\rm f}\sigma_{\rm f}(\varepsilon_{\rm c}) + V_{\rm m}\sigma_{\rm m}(\varepsilon_{\rm c})$  =  $V_{\rm f}E_{\rm f}\,\varepsilon_{\rm c} + V_{\rm m}\sigma_{\rm m}(\varepsilon_{\rm c})$  car les fibres restent habituellement dans le domaine élastique linéaire.

Il est usuel que le renfort se rompe avant la matrice. La courbe de traction aura alors deux maxima:

un à

$$\sigma_{\rm c} = V_{\rm f} \sigma_{\rm f}^* + V_{\rm m} \sigma_{\rm m(\varepsilon f^*)} \approx V_{\rm f} \sigma_{\rm f}^* + V_{\rm m} \sigma_{\rm m, y}$$
  
l'autre à

$$\sigma_{\rm c} = V_{\rm m} \sigma_{\rm m}^* = (1 - V_{\rm f}) \sigma_{\rm m}^*$$



#### **FIGURE 28.2**

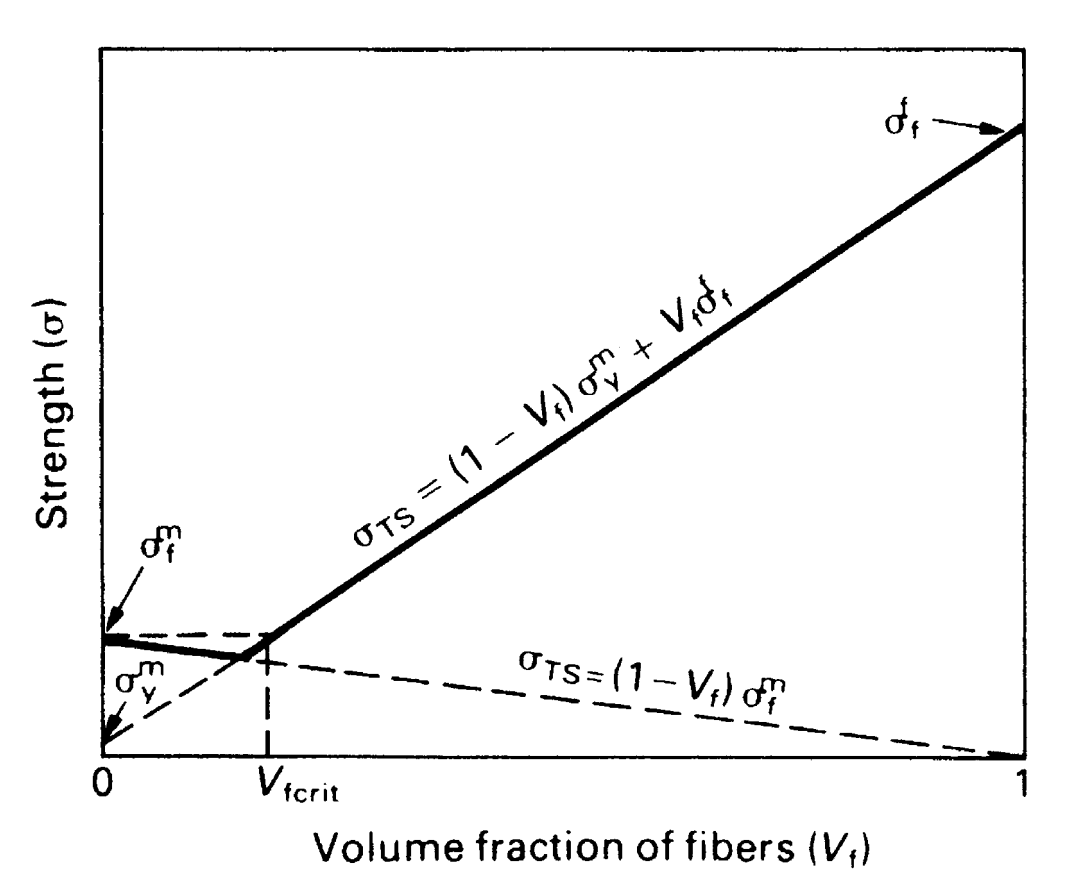
The stress—strain curve of a continuous fiber composite (heavy line), showing how it relates to those of the fibers and the matrix. At the peak the fibers are on the point of failing.

 $(\sigma^* = \text{contrainte à rupture})$ 

Chapitre 6 – Les composites 25 Source: M.F. Ashby & D.R.H. Jones, Engineering Materials Vol. 2, 4<sup>th</sup> Ed., 2006, Elsevier Butterworth.

...ce qui schématiquement donne la figure ci-contre.

Donc pour avoir un renforcement de la matrice, la fraction volumique de renfort doit excéder une valeur seuil,  $V_{f,critique}$ .



#### **FIGURE 28.3**

The variation of peak stress with volume fraction of fibers. A minimum volume fraction ( $V_{f,crit}$ ) is needed to give any strengthening.

Chapitre 6 – Les composites 26 Source: M.F. Ashby & D.R.H. Jones, Engineering Materials Vol. 2, 4<sup>th</sup> Ed., 2006, Elsevier Butterworth.

Avec des fibres courtes, il n'est pas donné que les fibres se rompent quand casse le composite:

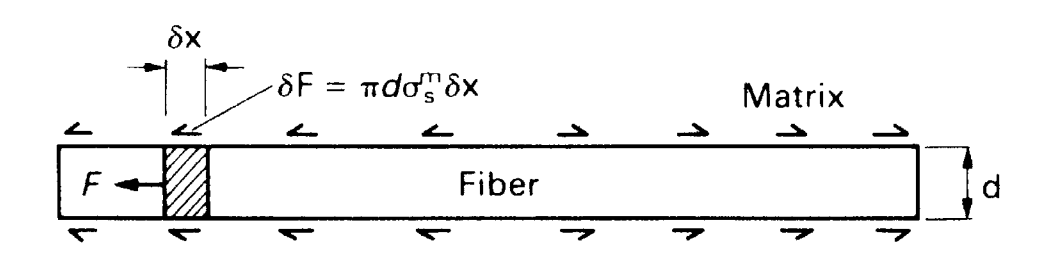
pour qu'elle rompent, il faut que

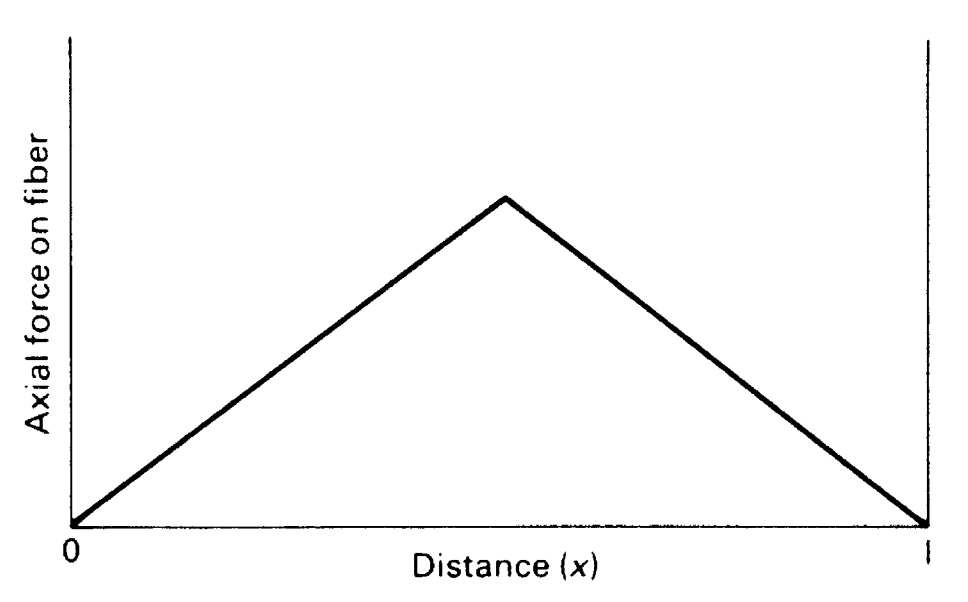
$$\sigma_{f, \text{max}} = (P/A) (L/2) \tau_{i}$$

puisse atteindre  $\sigma_{\rm f}^*$  et donc que

$$L \geq L^* = (\sigma_f^*/\tau_i) (2A/P).$$

Des fibres plus courtes que cela vont rester intactes pendant toute la déformation du composite.



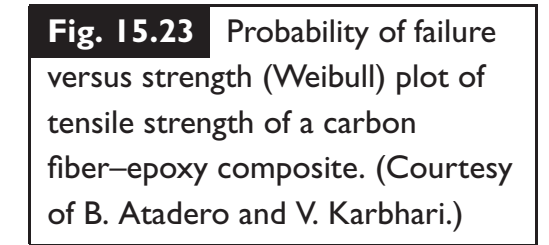


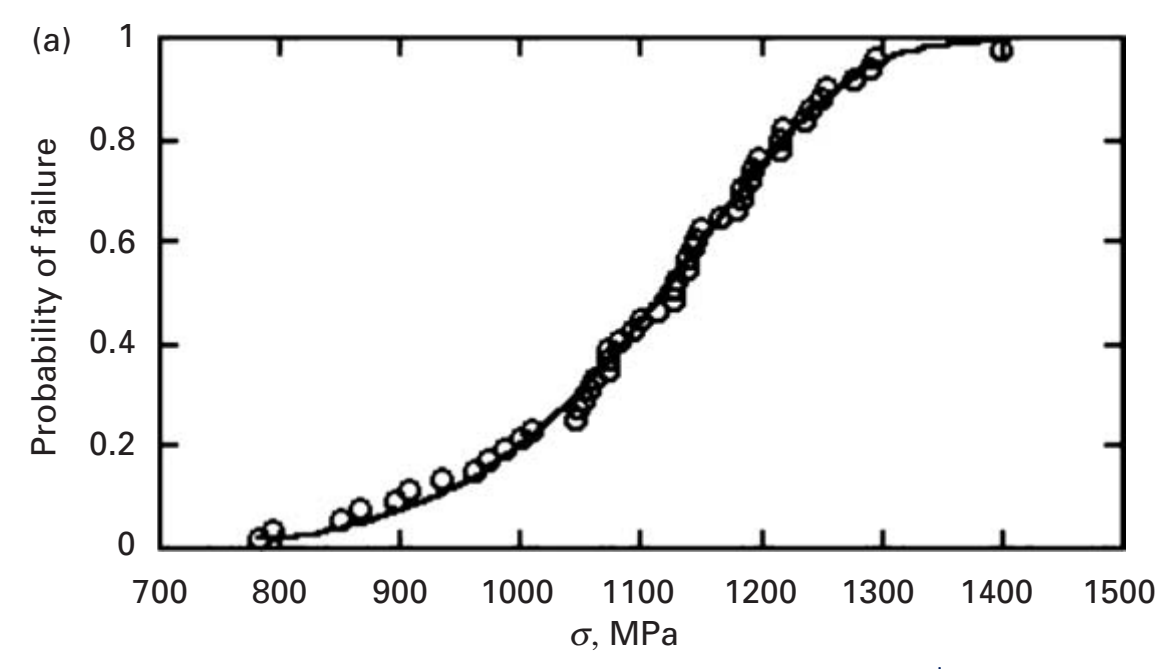
#### **FIGURE 28.4**

Load transfer from matrix to fiber causes the tensile stress in the fiber to rise to a peak in the middle. If the peak exceeds the fracture strength of the fiber, it breaks.

Chapitre 6 – Les composites 27 Source: M.F. Ashby & D.R.H. Jones, Engineering Materials Vol. 2, 4<sup>th</sup> Ed., 2006, Elsevier Butterworth.

Notez qu'en général les fibres n'ont pas une contrainte de rupture fixe: ce sont des matériaux résistants mais qui cassent par rupture fragile, à une contrainte qui est par conséquent généralement distribuée statistiquement. Cela fait qu'il en est de même pour les composites dont ils sont produits. La contrainte à rupture des composites à fibres longues suit de ce fait souvent lui aussi une statistique de Weibull,

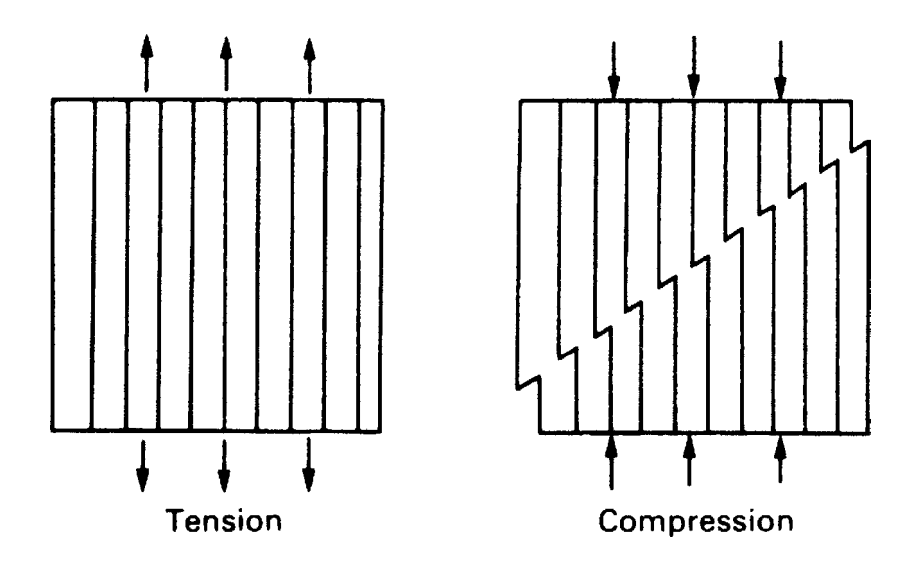




Source: M.A. Meyers and K.K. Chawla, Mechanical Behavior of Materials 2<sup>nd</sup> Ed., Cambridge University Press, 2009

### **EPFL** Rupture en compression des matériaux composites

En compression les composites à fibres longues se rompent le plus souvent en cisaillement par un mécanisme qui s'apparente au flambage coordonné des fibres le long d'une bande de plissement (kink band), ceci à une contrainte inférieure à leur contrainte à rupture en traction qui dépend en particulier des propriétés des fibres en compression.



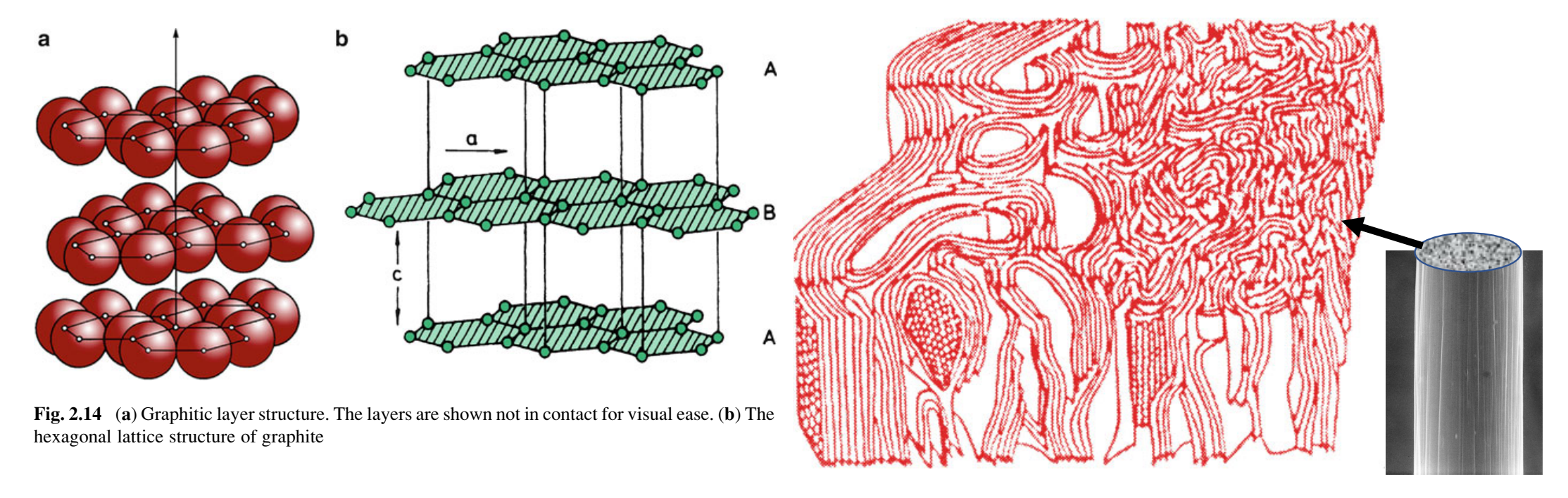
#### **FIGURE 28.5**

Composites fail in compression by kinking, at a load which is lower than that for failure in tension.

Chapitre 6 – Les composites 29 Source: M.F. Ashby & D.R.H. Jones, Engineering Materials Vol. 2, 4<sup>th</sup> Ed., 2006, Elsevier Butterworth.

### **EPFL** Rupture en traction perpendiculairement aux fibres

Notez que des fibres de matériau fortement anistrope comme le graphite ou le polyéthylène cristallin auront une contrainte à rupture perpendiculairement à l'axe de la fibre bien inférieure à la valeur mesurée selon l'axe des fibres



**Fig. 2.22** Three-dimensional representation of PAN-based carbon fiber [from Bennett and Johnson (1978), used with permission]

Chapitre 6 – Les composites 30 Source: Chawla, Krishan K.,
Composite materials: Science and engineering, third edition, Springer Verlag, 2012

#### **EPFL**

III – L'interface et la ténacité des composites

Une région qui revêt une importance particulière dans les composites est l'interface entre le renfort et la matrice. Au niveau le plus simple c'est une surface; cependant celle-ci peut être rugueuse, avoir une certaine épaisseur s'il y a eu réaction chimique entre matrice et renfort ou si une phase supplémentaire y est délibérément insertie pour améliorer l'élaboration et/ou les propriétés du composite.

L'interface peut aussi altérer la matrice; un exemple est ci-contre où les espèces chimiques insérées à l'interface pour optimiser la liaison entre matrice et fibre ont modifié la cristallisation du polymère au voisinage de l'interface.

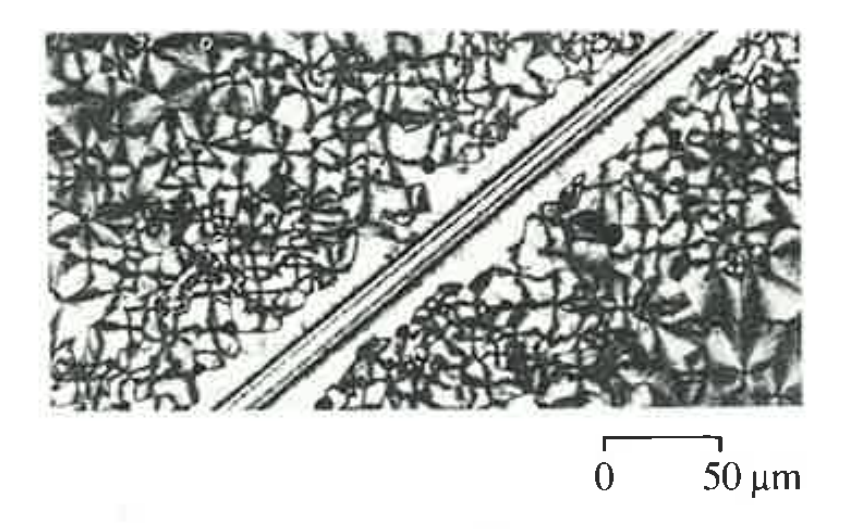


Figure 7.35 Transcrystallinity around aramid fibre in nylon 6,6

L'interface joue aussi un rôle primordial dans le comportement mécanique des composites. Si une fissure approche une interface entre deux phases perpendiculairement à celle-ci, selon le rapport des ténacités de l'interface ou de la phase de l'autre côté de celle-ci la fissure peut soit continuer tout droit, soit bifurquer pour délaminer l'interface; la trajectoire suivie dépend du rapport des ténacités (en  $J/m^2$ ) entre la seconde phase (Phase 2, qui est la fibre si la fissure traverse la matrice)  $G_f$ , et celle de l'interface,  $G_i$ .

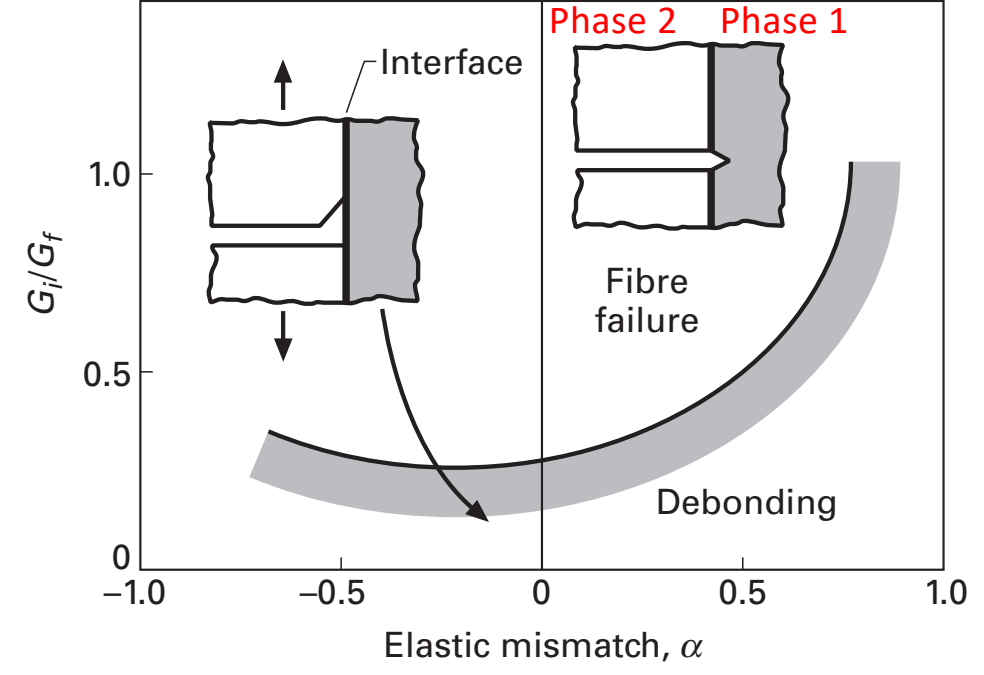
$$\alpha = \left(\frac{\bar{E}_1 - \bar{E}_2}{\bar{E}_1 + \bar{E}_2}\right),\,$$

where

$$\bar{E} = \frac{E}{1 - v^2}.$$

Fig. 15.18 The ratio of the interface fracture toughness to that of fiber,  $G_i/G_f$ , vs. the elastic mismatch  $\alpha$ . Interfacial debonding occurs under the curve, while for conditions above the curve, the crack propagates through the interface.

Source: M.A. Meyers and K.K. Chawla, Mechanical Behavior of Materials 2<sup>nd</sup> Ed., Cambridge University Press, 2009



Ceci fait qu'avec une interface suffisamment faible une fissure traversant la matrice (typiquement polymère thermodurcissable et donc relativement fragile) va bifurquer quand elle arrive à chaque fibre. Il en résulte

(i) que la fissure augmente nettement sa superficie,

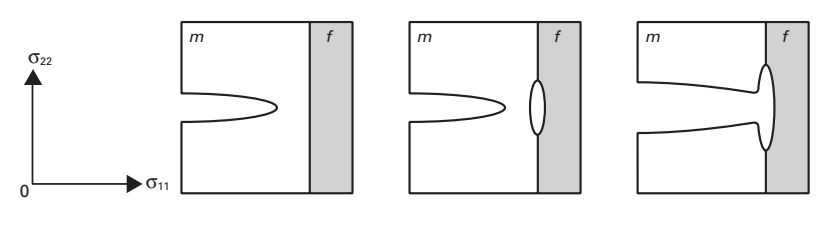
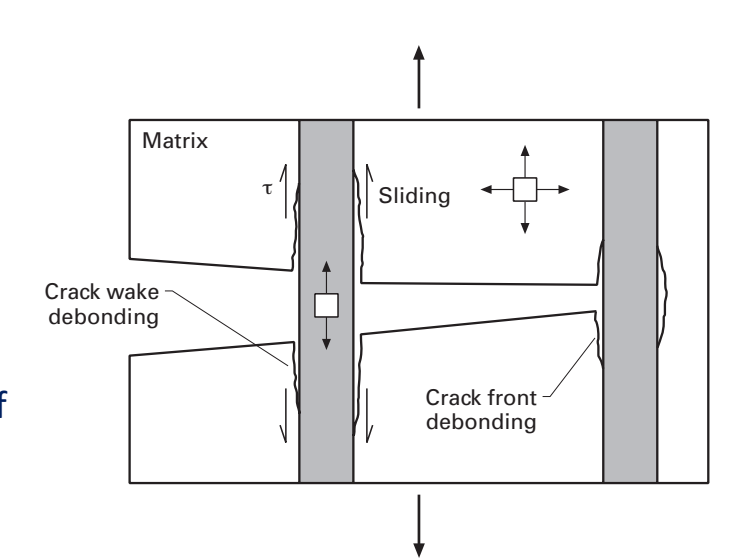


Fig. 15.16 Fracture of weak interface in front of crack tip due to transverse tensile stress; *m* and *f* indicate the matrix and fiber, respectively. (After J. Cook and J. E. Gordon, *Proc. Roy. Soc. (London)*, A 228 (1964) 508.)



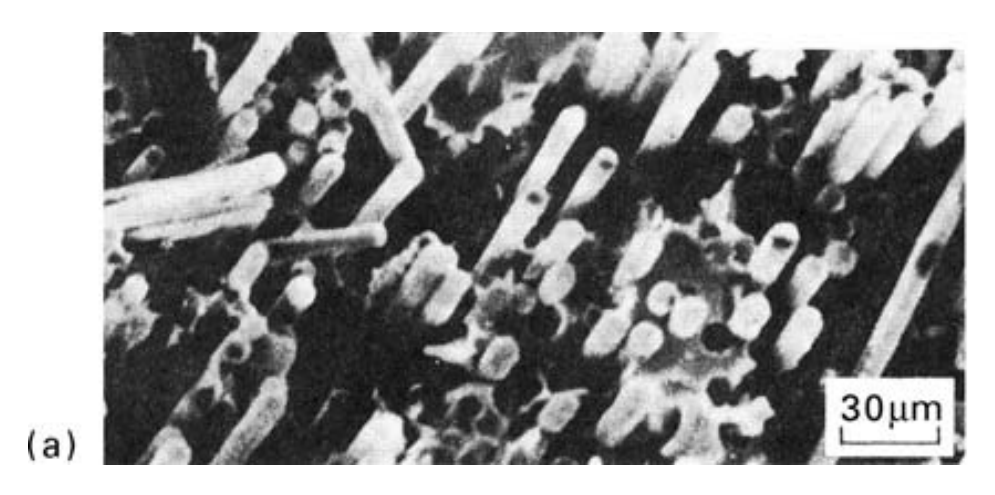
**Fig. 15.17** Crack front and crack wake debonding in a fiber reinforced composite.

Source: M.A. Meyers and K.K. Chawla, Mechanical Behavior of Materials 2<sup>nd</sup> Ed., Cambridge University Press, 2009

Ceci fait qu'avec une interface suffisamment faible une fissure traversant la matrice (typiquement polymère thermodurcissable et donc relativement fragile) va bifurquer quand elle arrive à chaque fibre. Il en résulte

(i) que la fissure augmente nettement sa superficie,

mais surtout que (ii) beaucoup d'énergie sera dépensée pour extraire les fibres de la matrice: c'est le mécanisme de déchaussement de fibres (fiber pull-out).



Source: M.A. Meyers and K.K. Chawla, Mechanical Behavior of Materials 2<sup>nd</sup> Ed., Cambridge University Press, 2009

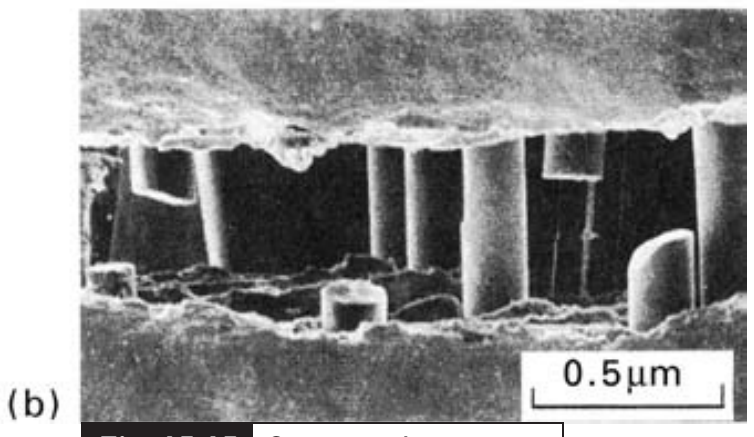


Fig. 15.15 Scanning electron micrographs of fracture in composites, showing the fiber pullout phenomenon. (a) Carbon fiber/polyester. (b) Boron fiber/aluminum 6061.

# **EPFL** L'interface et la ténacité des composites

Ce déchaussement de fibres extraites des deux faces de la fissure consomme beaucoup d'énergie: c'est pour cela que la combinaison de deux matériaux fragiles comme le verre et l'epoxy peut donner un matériau pratiquement aussi tenace qu'un métal...

Source: M.F. Ashby & D.R.H. Jones, Engineering Materials Vol. 1, 2<sup>nd</sup> Ed., Elsevier Butterworth.

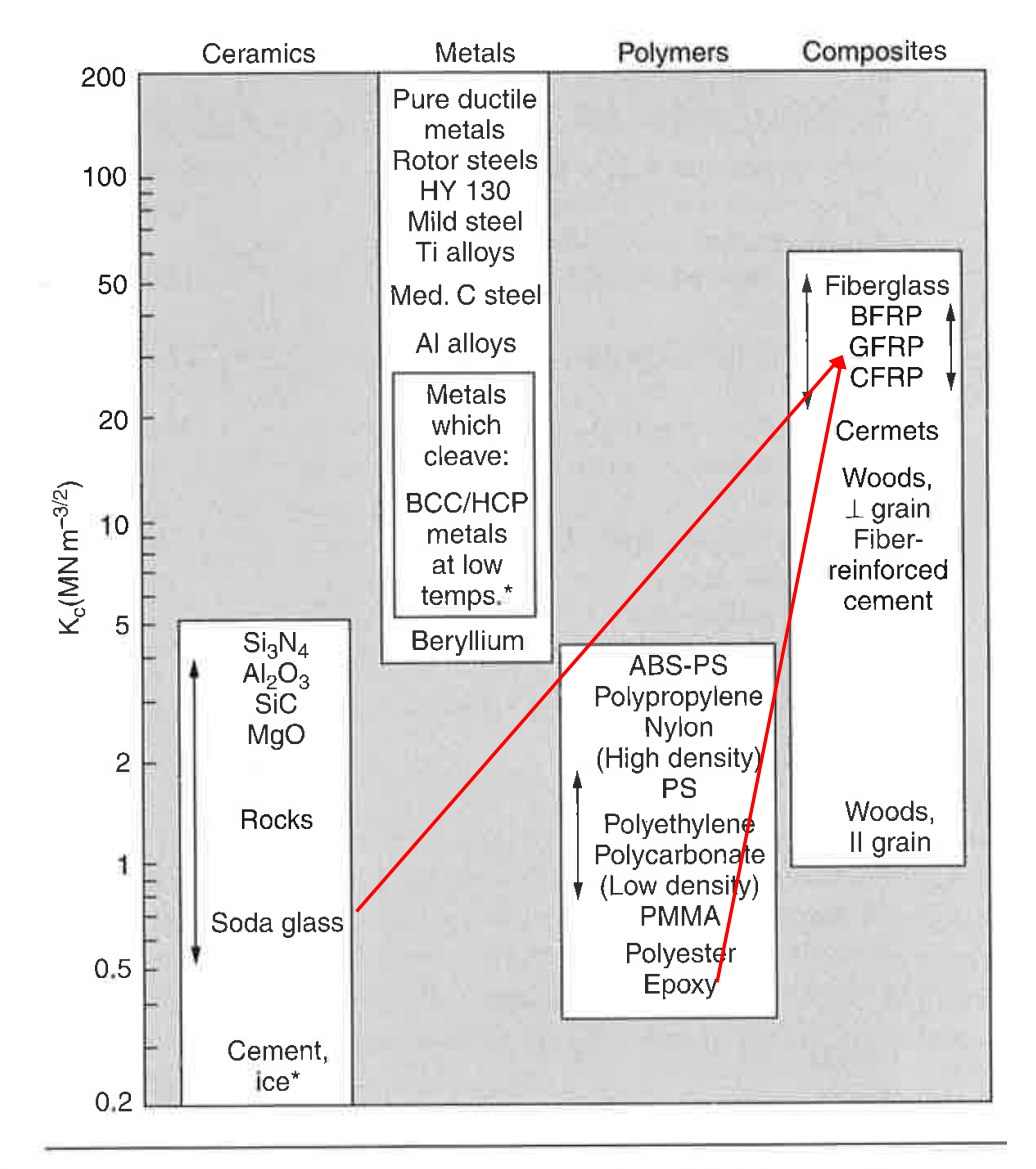


Figure 13.6 Fracture toughness,  $K_c$  (values at room temperature unless starred).

# **EPFL** L'interface et la ténacité des composites

Ce déchaussement de fibres extraites des deux faces de la fissure consomme beaucoup d'énergie: c'est pour cela que la combinaison de deux matériaux fragiles comme le verre et l'epoxy peut donner un matériau pratiquement aussi tenace qu'un métal...

... quand il est sollicité selon des fibres alignées.

Quand par contre le composite est sollicité selon d'autres directions l'interface peut (va?) le fragiliser.

Source: M.F. Ashby & D.R.H. Jones, Engineering Materials Vol. 1, 2<sup>nd</sup> Ed., Elsevier Butterworth.

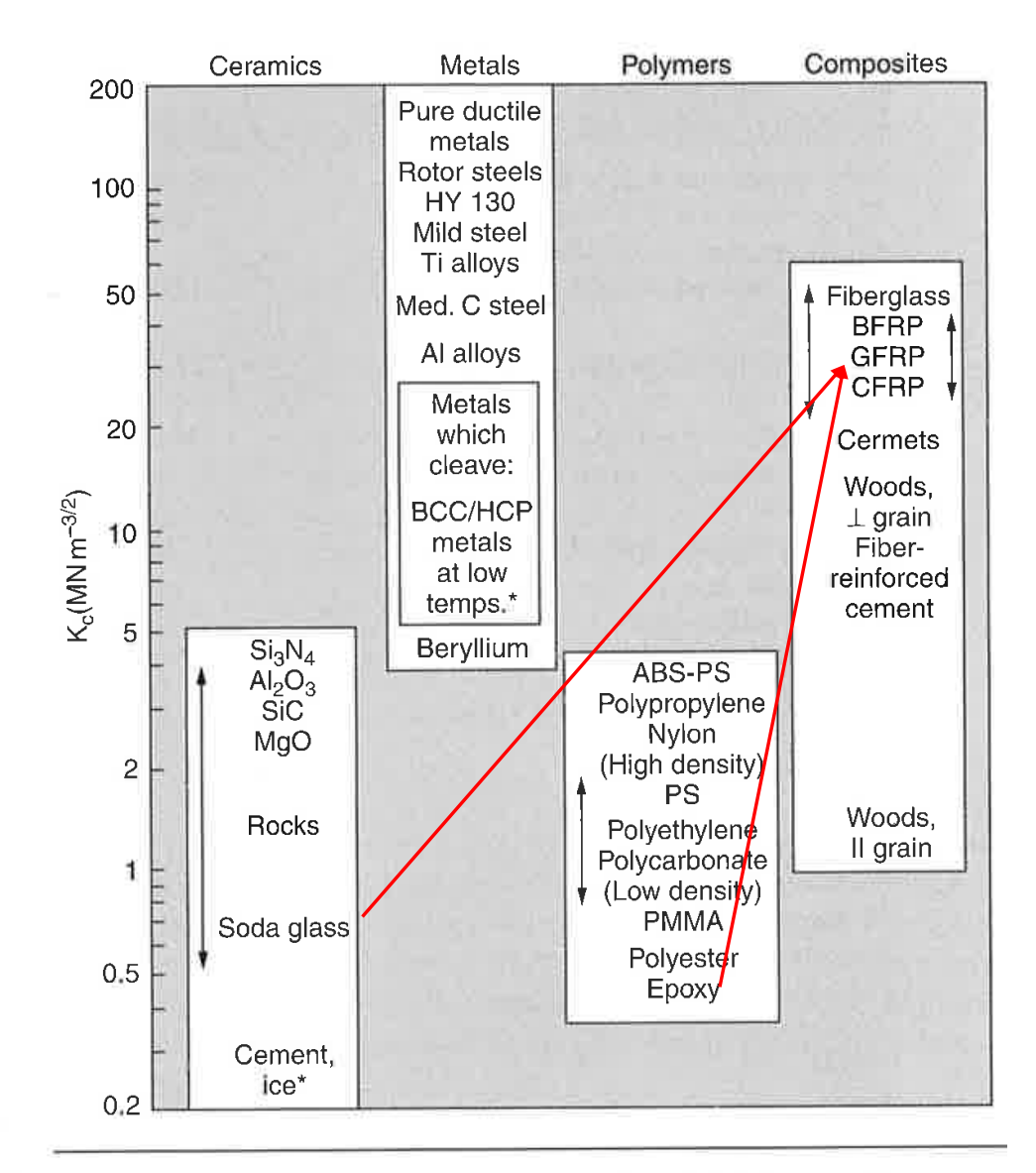
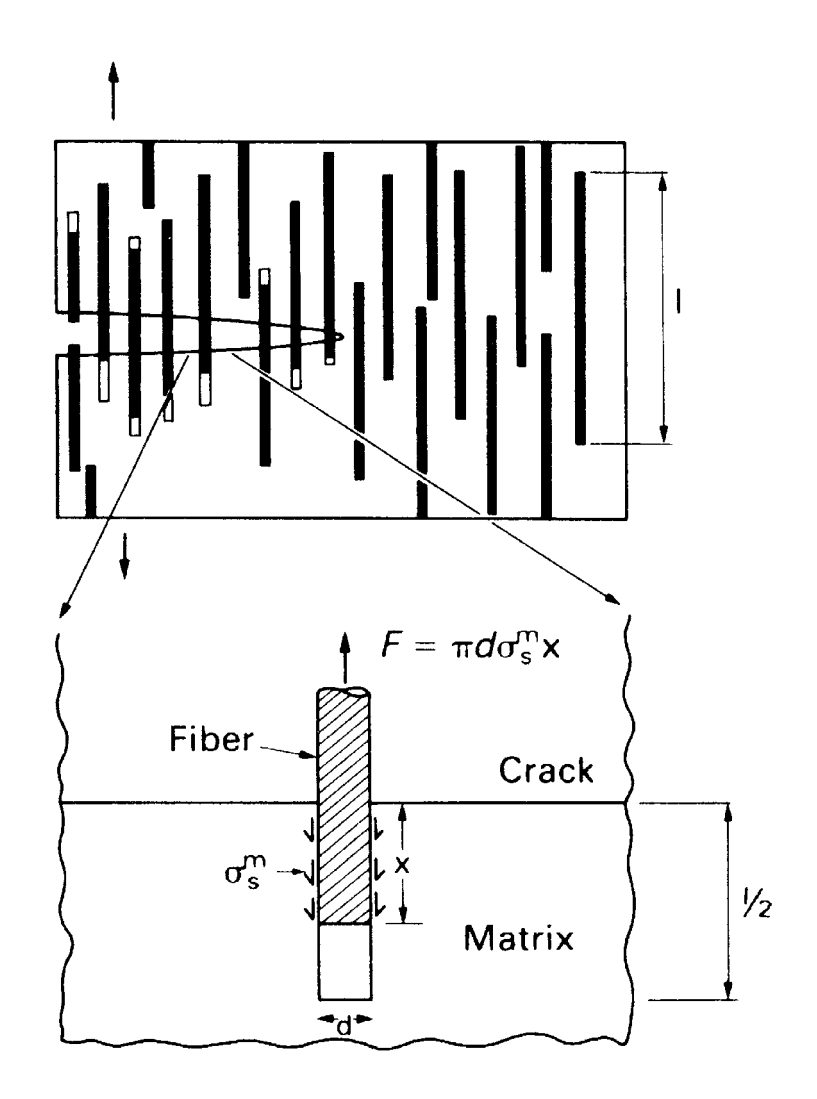


Figure 13.6 Fracture toughness,  $K_c$  (values at room temperature unless starred).

# **EPFL** L'interface et la ténacité des composites

Ce mécanisme (dit de Cook-Gordon) est aussi opératif dans les composites à fibres courtes alignées selon la contrainte de traction appliquée



#### **FIGURE 28.6**

Fibers toughen by pulling out of the fracture surface, absorbing energy as the crack opens.

Chapitre 6 – Les composites 38 Source: M.F. Ashby & D.R.H. Jones, Engineering Materials Vol. 2, 4<sup>th</sup> Ed., 2006, Elsevier Butterworth.

#### **EPFL**

IV – Les matériaux poreux

Beaucoup de matériaux sont poreux: on peut les voir comme étant des composites entre une phase solide et un gaz (ou le vide).

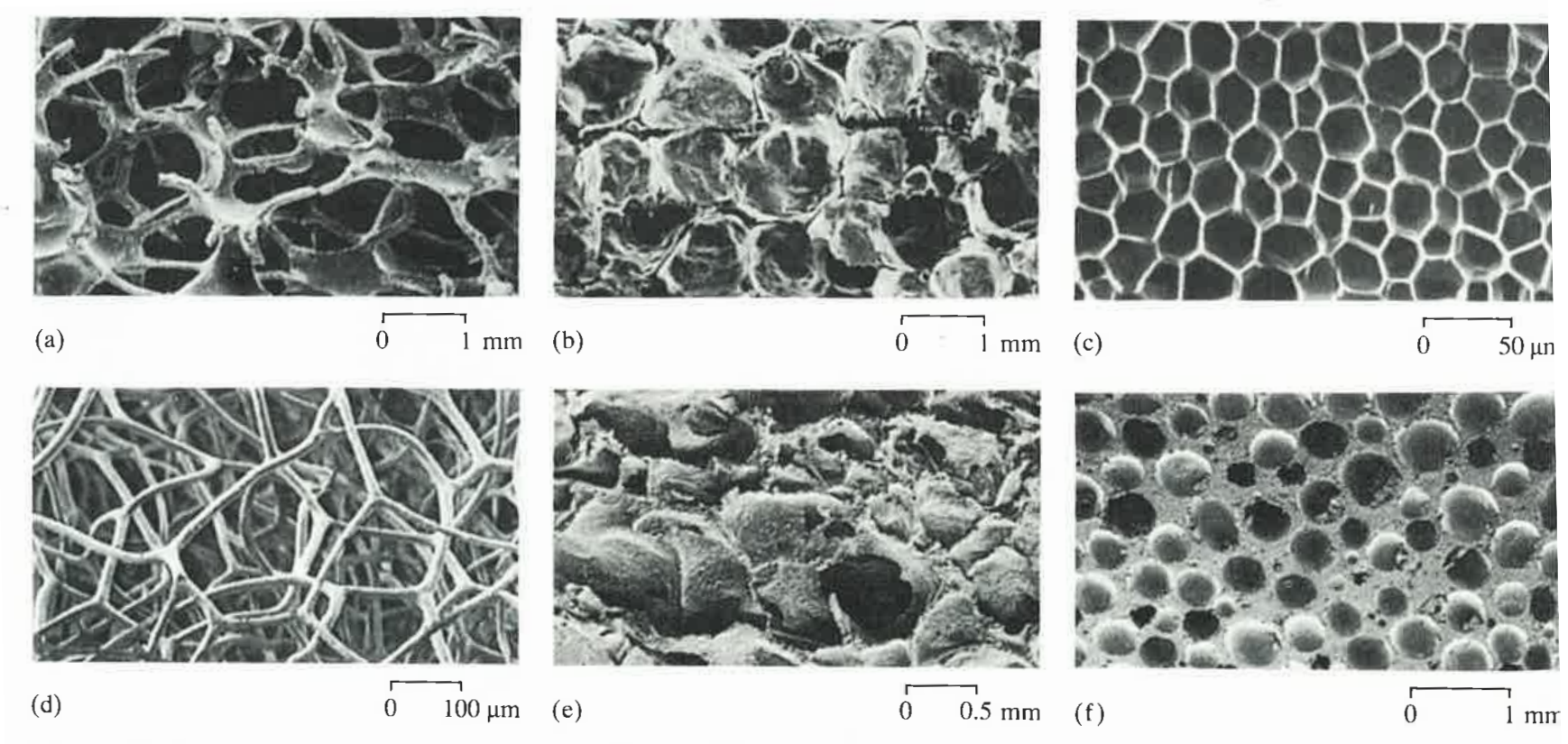


Figure 7.30 A range of foams: (a) nickel (b) glass (c) cork (d) sponge (e) bread (f) chocolate bar

Source: G. Weidmann, P. Lewis & N. Reid Eds., Materials in Action series - Structural Materials, Butterworths, London, 1990

Les exemples sont nombreux et sont tant synthétiques que naturels. Ils peuvent être isotropes, ou fortement anisotropes (comme le nid d'abeille utilisé dans les assemblages

«sandwich» destinés à résiter à la flexion).

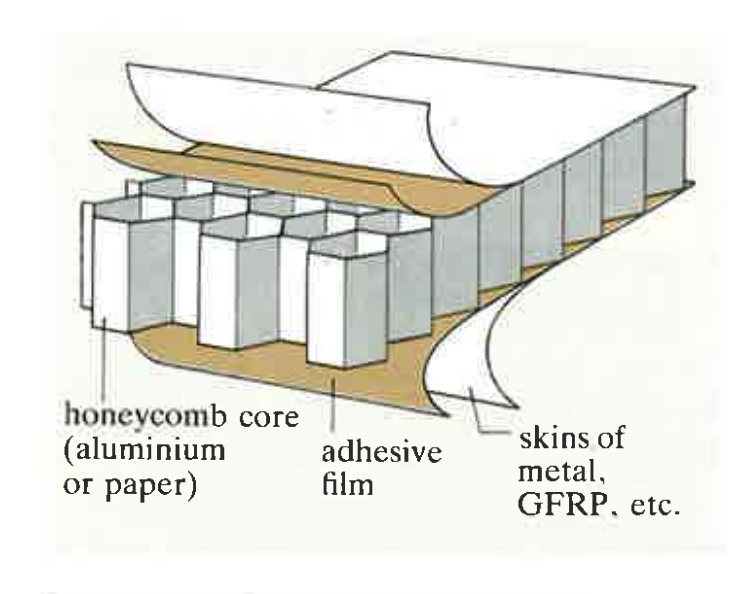


Figure 7.25 Honeycomb sandwich

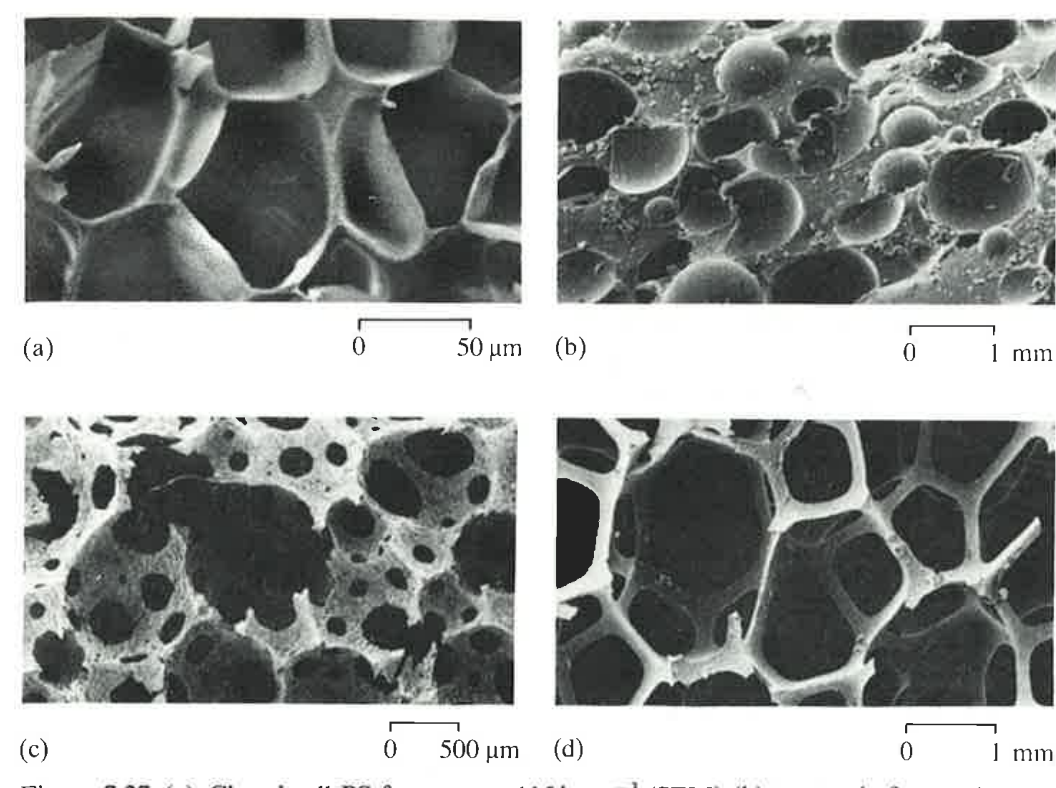


Figure 7.27 (a) Closed-cell PS foam,  $\rho=115\,\mathrm{kg\,m^{-3}}$  (SEM) (b) syntactic foam, glass spheres in epoxy resin,  $\rho=475\,\mathrm{kg\,m^{-3}}$  (SEM) (c) open-cell SBR/NR foam,  $\rho=78\,\mathrm{kg\,m^{-3}}$  (SEM) (d) reticulated open-cell PU foam,  $\rho=36\,\mathrm{kg\,m^{-3}}$  (SEM)

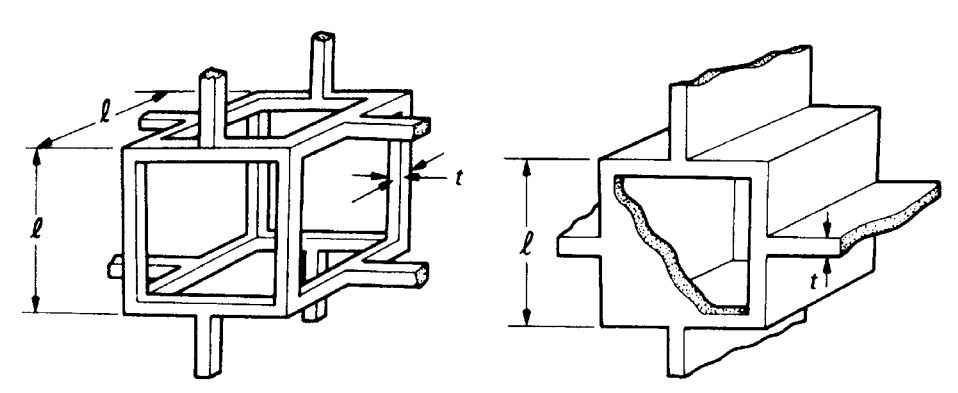
Source: G. Weidmann, P. Lewis & N. Reid Eds., Materials in Action series - Structural Materials, Butterworths, London, 1990

Leur comportement mécanique est «une fraction» de celui du solide qui les constitue; cette fraction dépend de la géométrie interne du matériau et aussi, et ce souvent de façon généralement non linéaire et forte, de la fraction volumique du solide (la «densité relative»):

par exemple pour une mousse à cellules ouvertes (pas de paroi entre cellules), le module d'Young  $E_{\rm m}$  du matériaux poreux varie comme le *carré* de la densité relative:

$$E_{\rm m} = k E_{\rm s} (V_{\rm s})^2 = k E_{\rm s} (\rho_{\rm m}/\rho_{\rm s})^2$$

où  $\rho_m$ = densité du matériau poreux  $\rho_s$ = densité du solide dont il est constitué  $V_s$  = fraction volumique du solide dans le matériau poreux  $E_s$  = module du solide dans le matériau poreux et  $k \le 1$ 

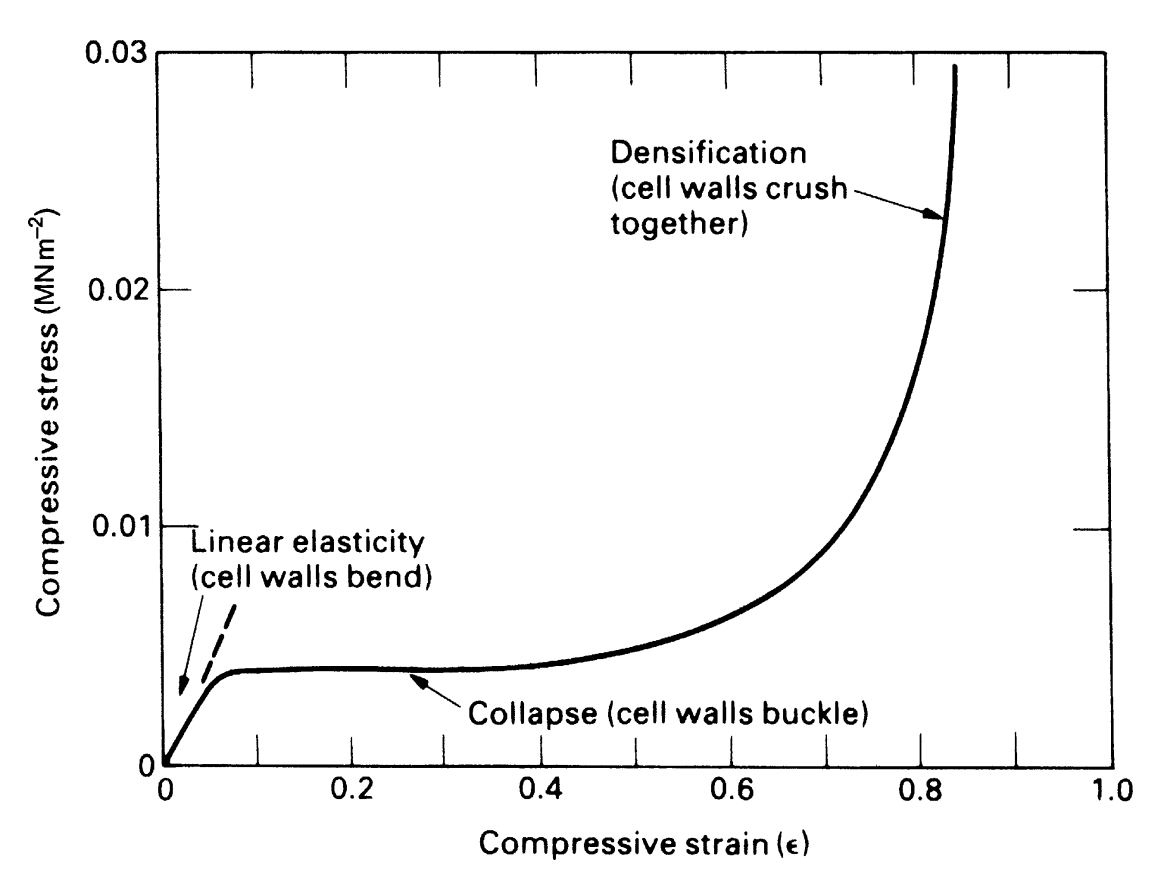


**FIGURE 28.7** 

Polymer foams, showing the polyhedral cells. Some foams have closed cells, others have open cells.

Chapitre 6 – Les composites 42 Source: M.F. Ashby & D.R.H. Jones, Engineering Materials Vol. 2, 4<sup>th</sup> Ed., 2006, Elsevier Butterworth.

En compression, les matériaux poreux montrent le plus souvent une courbe avec un plateau assez étendu si le matériau dont ils sont faits n'est pas fragile



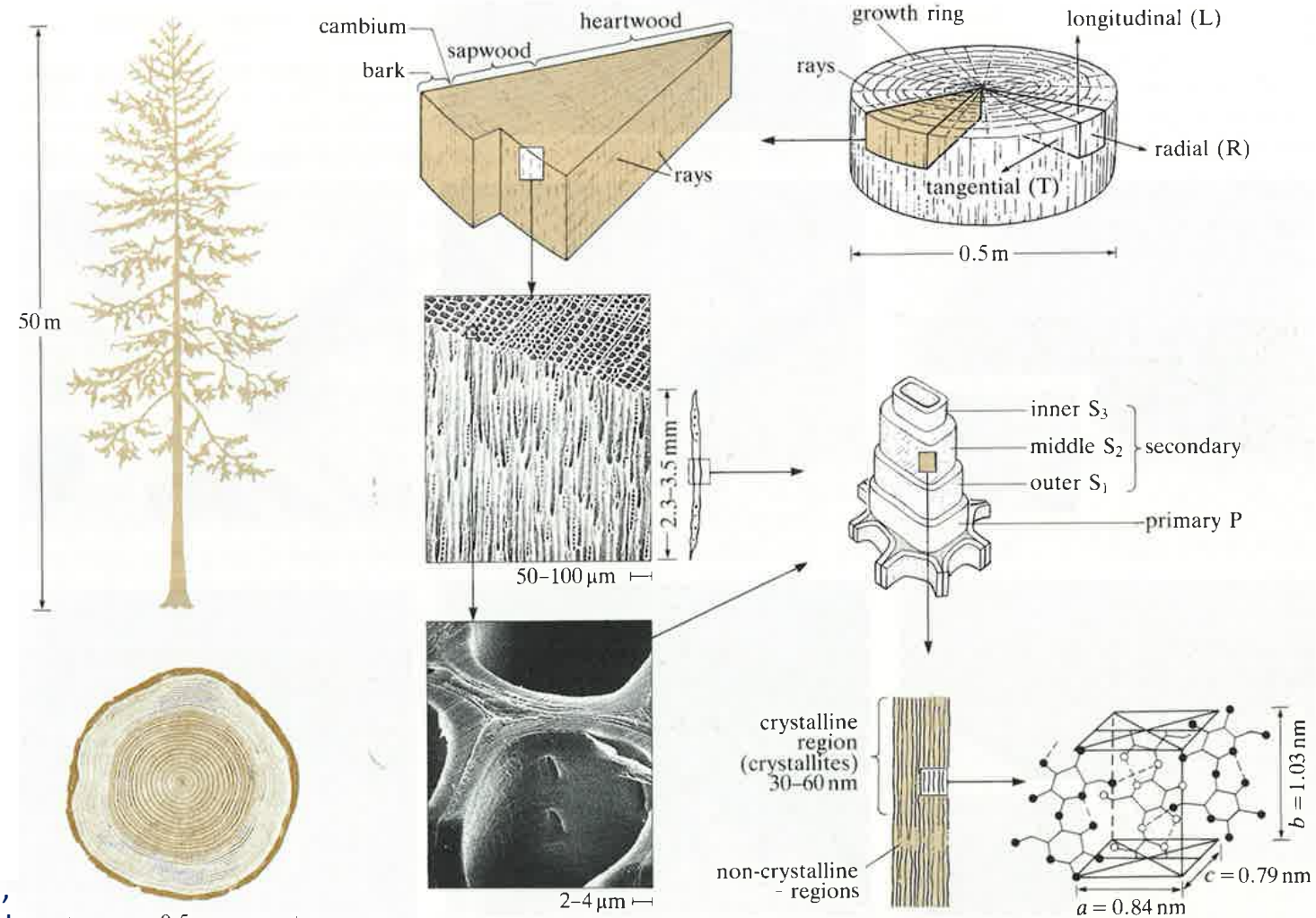
#### **FIGURE 28.8**

The compressive stress—strain curve for a polymer foam. Very large compressive strains are possible, so the foam absorbs a lot of energy when it is crushed.

Chapitre 6 – Les composites 43 Source: M.F. Ashby & D.R.H. Jones, Engineering Materials Vol. 2, 4<sup>th</sup> Ed., 2006, Elsevier Butterworth.

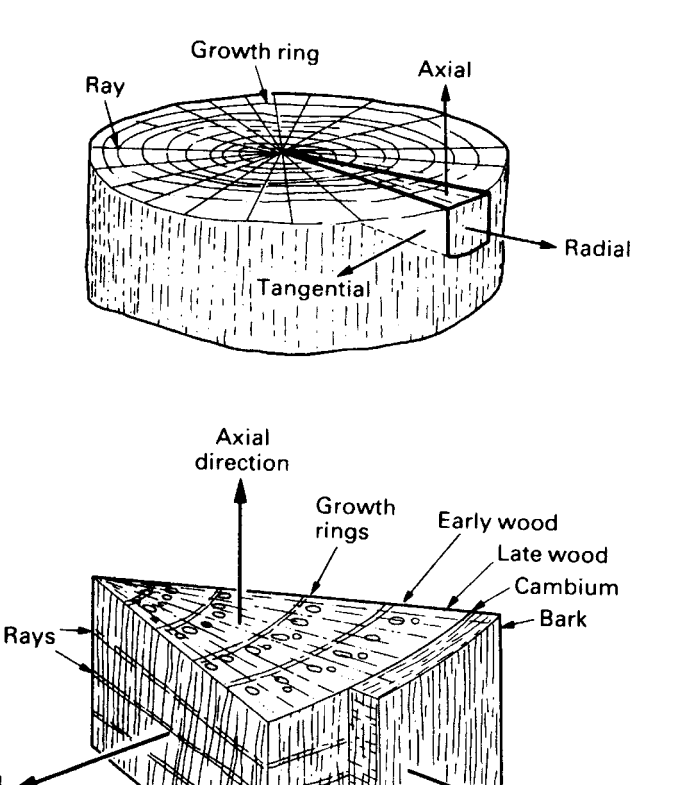
Ces matériaux comprennent en particulier le bois, dont le poids produit annuellement pour des applications structurales est, comme pour le béton et l'acier, de l'ordre de 109 tonnes

faisant que par volume c'est le matériau le plus utilisé.

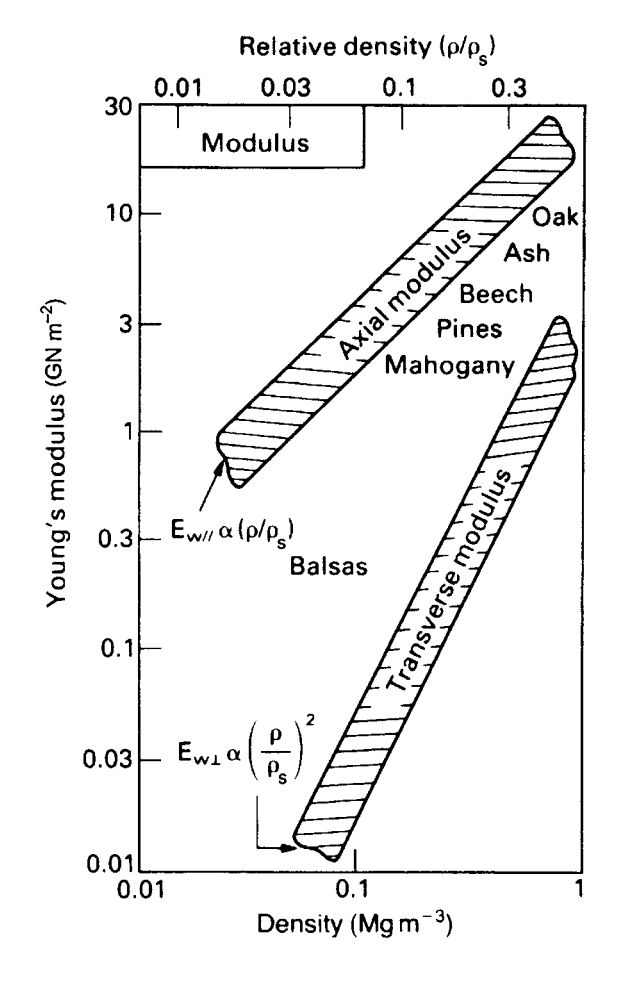


Source: G. Weidmann, P. Lewis & N. Reid Eds., Materials in Action series - Structural Materials, Butterworths, London, 1990

Figure 7.34 Scale and nature of structural features in a softwood



Cells



#### **FIGURE 29.1**

Tangential direction

The macrostructure of wood. Note the coordinate system (axial, radial, tangential).

#### **FIGURE 29.4**

Radial

direction

Young's modulus for wood depends mainly on the relative density  $\rho/\rho_s$ . That along the grain varies as  $\rho/\rho_s$ ; that across the grain varies roughly as  $(\rho/\rho_s)^2$ , like polymer foams.

Chapitre 6 – Les composites 45 Source: M.F. Ashby & D.R.H. Jones, Engineering Materials Vol. 2, 4<sup>th</sup> Ed., 2006, Elsevier Butterworth.

Et pour finir n'oublions pas que ces matériaux constituent aussi une bonne partie de notre corps.

Source: G. Weidmann, P. Lewis & N. Reid Eds., Materials in Action series - Structural Materials, Butterworths, London, 1990



Figure 7.29 Section through tibia